

**Івано-Франківський національний технічний університет
нафти і газу**

Інститут інженерної механіки та робототехніки
Кафедра комп'ютеризованого машинобудування

Бумбу Захар Романович

(прізвище, ім'я, по батькові)

УДК _____

(індекс)

БАКАЛАВРСЬКА РОБОТА

Технологія виготовлення деталі " Вісь АКПН 324.021" для умов серійного типу
виробництва.

(назва роботи)

Прикладна механіка

(назва освітньої програми)

131- Прикладна механіка

(шифр і назва спеціальності)

(підпис, ініціали та прізвище здобувача освітнього ступеня)

Науковий керівник Костюк Назар Олегович

(прізвище, ім'я, по батькові, науковий ступінь, вчене звання)

Допущено до захисту

Завідувач кафедри

професор

(посада) (підпис) (дата) (ініціали та прізвище)

Рецензент

(посада) (підпис) (дата) (ініціали та прізвище)

Робота містить результати власних розробок. Використання ідей, результатів і текстів інших авторів мають посилання на відповідне джерело

РЕФЕРАТ

кваліфікаційної бакалаврської роботи: «Технологія виготовлення деталі " Вісь АКПН 324.021" для умов серійного типу виробництва.»

Розрахунково-пояснювальна записка: сторінок, рисунків, таблиць, посилань, аркушів ф. А4 додатків.

Графічна частина: аркуші формату А1.

Об'єкт дослідження – технологічний процес механічної обробки.

Предмет дослідження - деталь “ Вісь АКПН 324.021”.

Мета роботи – розробити технологію виготовлення вівсь АКПН 324.021, яка дозволить зменшити витрати на її виготовлення, також розробити конструкцію спеціального верстатного пристрою для базування та закріплення деталі на одній з механообробних операцій.

Для досягнення поставленої задачі, в роботі було проведено аналіз конструкції деталі, її технологічності, базового способу отримання заготовки та маршруту механічної обробки. На основі результатів аналізу та рекомендацій технічної літератури розроблено конструкцію заготовки відповідно до типу виробництва. Також створено проектний маршрут технології виготовлення деталі із застосуванням верстатів з ЧПК. Для закріплення деталі на свердлильній операції розроблено конструкцію пристрою та визначено силу затиску. У конструкторській частині також описано конструкцію різального інструменту. В науково-дослідній проведено аналіз напружено-деформованого стану свердла. В додатках представлена вся необхідна технологічна документація.

Результати роботи можуть бути використані в машинобудівній галузі. Отримані висновки та розроблені рекомендації можуть сприяти покращенню виробничих процесів та підвищенню ефективності в машинобудуванні.

Ключові слова: *деталь, заготовка, технологічний процес, операція, інструмент, обладнання, режими різання, швидкість різання, сила різання, пристрій, сила затиску, напружено-деформований стан.*

Студент: Бумбу З. Р.

SUMMARY

qualifying bachelor's thesis: "Technology of manufacturing the part " Axis AKPN 324.021" for serial production conditions."

Calculation and explanatory note: pages, figures, tables, references, sheets f. A4 applications.

Graphic part: sheets of A1 format.

The object of research is the technological process of machining.

Subject of research - detail " Axis AKPN 324.021".

Objective: To develop a manufacturing technology for the AKPN 324.021 axis that reduces production costs and to design a special machine fixture for positioning and securing the part during one of the machining operations.

To achieve the stated objective, the work includes an analysis of the part's design, its manufacturability, the basic method of obtaining the blank, and the mechanical processing route. Based on the results of the analysis and recommendations from technical literature, a blank design was developed according to the type of production. A process route for manufacturing the part using CNC machines was also created. A fixture design for securing the part during the drilling operation was developed, and the clamping force was determined. The design section also describes the cutting tool's construction. In the research section, an analysis of the stress-strain state of the drill was conducted. All necessary technological documentation is provided in the appendices. The results of the work can be used in the engineering industry.

The results of this work can be applied in the machine-building industry. The obtained conclusions and developed recommendations can help improve production processes and increase efficiency in machine building.

Keywords: *part, blank, technological process, operation, tool, equipment, cutting modes, cutting speed, cutting force, fixture, clamping force, stress-strain state.*

Student: Bumbu Z. R.

Івано-Франківський національний технічний університет нафти і газу

(повне найменування закладу вищої освіти)

Інститут інженерної механіки та робототехніки

Кафедра комп'ютеризованого машинобудування

Освітній рівень - бакалавр

Спеціальність 131-Прикладна механіка

(шифр і назва)

ЗАТВЕРДЖУЮ

Завідувач кафедри

«___» _____ 20__ року

**З А В Д А Н Н Я
НА БАКАЛАВРСЬКУ РОБОТУ СТУДЕНТОВІ**

(прізвище, ім'я, по батькові)

1. Тема роботи _____

керівник роботи _____

(прізвище, ім'я, по батькові, науковий ступінь, вчене звання)

затверджені наказом закладу вищої освіти від “___” _____ 20__ року № _____

2. Строк подання студентом роботи _____ 2024 р.

3. Вихідні дані до роботи _____

4. Зміст розрахунково-пояснювальної записки (перелік питань, які потрібно розробити)

5. Перелік графічного матеріалу (з точним зазначенням обов'язкових креслень) _____

Зміст

- Вступ
 - 1 Технологічна частина
 - 1.1 Опис призначення та аналіз технічних вимог до деталі
 - 1.1.1 Опис призначення деталі і її функції у вузлі
 - 1.1.2 Точність, шорсткість поверхонь і їх взаємне розміщення
 - 1.2 Аналіз технологічності конструкції деталі
 - 1.2.1 Методи обробки кожної поверхні для досягнення заданої точності і шорсткості
 - 1.2.2 Аналіз можливостей механічної обробки
 - 1.3 Визначення програми випуску деталей
 - 1.4 Вибір способу отримання заготовки
 - 1.5 Розробка маршруту обробки деталі
 - 1.6 Призначення припусків на механічну обробку поверхонь
 - 1.7 Розрахунок режимів різання і основного часу
 - 1.8 Технічне нормування операцій
 - 2. Конструкторська частина
 - 2.1 Пристрій для механічної обробки
 - 2.1.1 Опис призначення, конструкції і принципу роботи пристрою
 - 2.1.2 Розрахунок потрібної сили затиску заготовки в пристрої
 - 2.2 Пристрій контрольний
 - 2.3 Розрахунок різального інструменту
 - 3 Дослідження напружено-деформованого стану свердла
- Висновки
Перелік використаних джерел
Додатки

Змн	Арк.	№ докум.	Підпис	Дата			
Розроб.					Літ.	Арк.	Акрушів
Перевір.						3	
Реценз.					ІФНТУНГ		
Н. Контр.							
Затверд.							

Вступ

Машинобудівна галузь відіграє ключову роль в економіці нашої країни, адже вона забезпечує фундамент для науково-технічного прогресу у всіх сферах господарства. Основними чинниками, що сприяють цьому прогресу, є збільшення продуктивності праці, покращення якості продукції та підвищення ефективності виробничих процесів. Особливе значення має модернізація технологій у машинобудуванні, впровадження інноваційних методів обробки, що гарантують високу точність і якість виготовлених деталей.

Методи зміцнення робочих поверхонь, які продовжують термін служби компонентів, ефективне використання металорізальних верстатів та сучасного обладнання, а також впровадження прогресивних форм організації виробництва є також важливими аспектами. Всі ці заходи спрямовані на досягнення головних цілей: підвищення ефективності виробництва та якості продукції.

У нинішніх ринкових умовах особливого значення набуває виробництво високоефективних машин і обладнання, оснащених мікропроцесорами та роботизованими приводами. Сучасні технологічні процеси орієнтовані на концентрацію операцій із використанням багатоцільових верстатів, верстатів з ЧПК, комбінованого і високопродуктивного різального інструменту, багатошпіндельних головок і групової обробки.

Завдання проекту включають зниження трудомісткості виробництва і собівартості продукції шляхом використання верстатів з ЧПК, швидкодіючих верстатних пристроїв та впровадження сучасних методів і засобів механічної обробки деталей. Крім цього, проект націлений на забезпечення стабільної якості продукції та підвищення її конкурентоспроможності на ринку.

Отже, впровадження інноваційних технологій та методів у машинобудівній галузі сприяє не лише економічному зростанню, але й розвитку науково-технічного потенціалу країни, що є запорукою її успішного майбутнього.

									Арк.
Змн.	Арк.	№ докум.	Підпис	Дата					

1 Технологічна частина

1.1 Опис призначення та аналіз технічних вимог до деталі

1.1.1 Опис призначення деталі і її функції у вузлі

Деталь “Вісь культиватора АКПН 324.021» входить в вузол піднімання лівої та правої борони агрегату комбінованого передпосівного напівнавісного АКПН-6 (див. рис. 1.1)

Деталь “Вісь культиватора АКПН 324.021” відноситься до типу тіл обертання, має габаритні розміри $L=134\text{мм}$, $d=35\text{мм}$., та масу $m=0,95\text{кг}$. Деталь “Вісь культиватора АКПН 324.021” слугує як опора колеса пластинчастого транспортера. Представляє собою деталь циліндричного типу та відноситься до класу осей з центральним отвором. Деталь працює на перерізуючи зусилля.

Проаналізував креслення деталі “Вісь культиватора АКПН 324.021” розглянувши умови її роботи, можна зробити висновки.

Для нормальної роботи виробу слід виконати наступні умови:

- за головну базу приймаємо циліндричну поверхню $\varnothing 35$ так як вона є направляючою.

Деталь виготовляється з матеріалу Сталь 45 ГОСТ 1050-88. Матеріал деталі Сталь 45 є не дуже дорогим, але він є досить поширеним і не дефіцитним, а також досить добре піддається обробці. Даний матеріал доцільно використовувати уданому випадку тому що до деталі ставляться вимоги по високій поверхневій міцності та підвищеній зносостійкості. З точки зору аналізу по геометричній формі, деталь є простою і немає важкооброблюваних поверхонь. Усі поверхні є простими і являють собою площини, зовнішні та внутрішні циліндричні поверхні . Це є перевагою тому що точність та стабільність обробки в значній мірі залежить від простоти конструктивних форм.

Розміри на кресленні деталі проставлені так, що дозволяють використовувати суміщення баз. Це призводить до більшої точності виготовлення деталі за рахунок виключення похибок установки та базування.

Значення допустимих та граничних відхилень розмірів та шорсткості проставлені тільки на робочі поверхні , а на невідповідальні поверхні проставлені

									Арк.
Змн.	Арк.	№ докум.	Підпис	Дата					

невисокі умови. Слід пам'ятати, що занадто високі умови до точності розмірів та шорсткості поверхонь призводять до збільшення трудомісткості та до підвищення собівартості виготовлення деталі.

Таблиця 1.1.1- Хімічний склад сталі 45

Вміст хімічних елементів в %							
C	Si	Mn	не більше				
			Ni	Cu	Cr	S	P
0,42-0,5	0,17-0,37	0,5-0,8	0,25	0,25	0,25	0,04	0,035

Таблиця 1.1.2- Механічні властивості сталі 45

σ_T , МПа	σ_{BP}, σ МПа	$\delta_3\%$	$\psi\%$	$\sigma_H, \frac{Дж}{см^2}$	НВ
360	610	16	40	50	268-308

									Арк.
Змн.	Арк.	№ докум.	Підпис	Дата					

1.1.2 Точність, шорсткість поверхонь і їх взаємне розміщення

У машинобудуванні точність, шорсткість поверхонь і їх взаємне розташування є ключовими аспектами, що визначають якість і ефективність деталей та систем.

Таблиця 1.1.3- Технічні вимоги та точносні характеристики деталі

№ пов.	Конфігурація та службове призначення поверхні	Розмір	Квалітет точності	Точність форми, розміщення	Шорсткість пов R _a , мкм			
1	2	3	4	5	6			
1.	Зовнішня циліндрична поверхня 1.Чорнове точіння 2.Чистове точіння 3.Шліфування однократне	35	f7	<table border="1" style="display: inline-table;"><tr><td>g</td><td>0,04</td><td>A</td></tr></table>	g	0,04	A	1
g	0,04	A						
2.	Зовнішня торцева поверхня 1 Точіння чорнове	10	±12/2	<table border="1" style="display: inline-table;"><tr><td>b</td><td>0,08</td><td>A</td></tr></table>	b	0,08	A	4
b	0,08	A						
3.	Зовнішня фаска 1.Точіння чорнове	2	±12/2	---	6.3			
4.	Внутрішня поверхня: циліндрична, торцева 1.Це кування	12	H14	---	6.3			
5.	Шпонковий паз 1.Фрезерування однократне	56	H14	<table border="1" style="display: inline-table;"><tr><td>f</td><td>0,4</td><td>A</td></tr></table>	f	0,4	A	6.3
f	0,4	A						
6.	Канавка 1. Чорнове точіння.	0,5	±12/2	---	6.3			
7.	Канавка 1.Фрезерування однократне	3	B14	---	6.3			
8.	Внутрішня циліндрична поверхня 1.Свердлування	8	H14	---	6.3			
9	Зовнішня торцева поверхня 1.Точіння чорнове	134	±12/2	---	6.3			
10	Внутрішня циліндрична поверхня 1.Свердлування	8	H14	---	6.3			

						Арк.
Змн.	Арк.	№ докум.	Підпис	Дата		

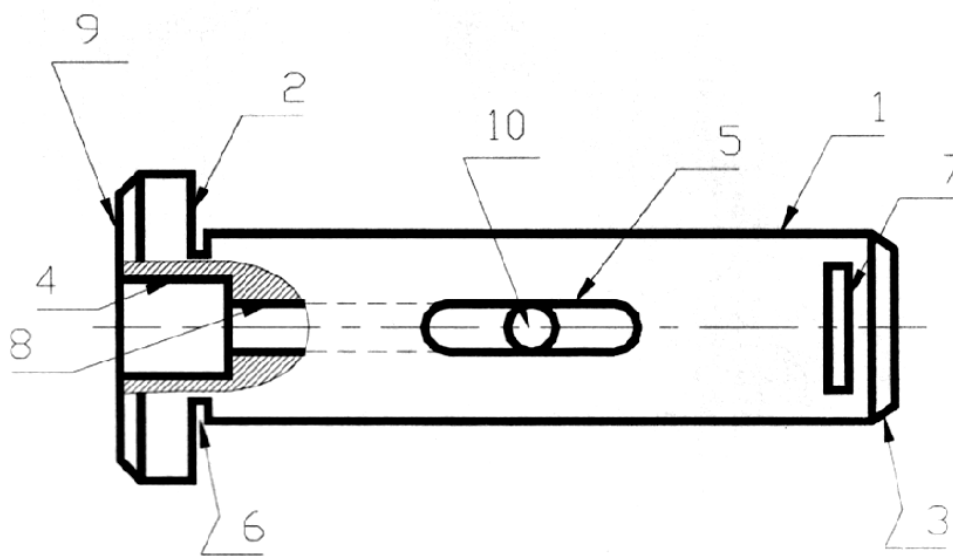


Рисунок 1 – Ескіз деталі із номерами її поверхонь

						Арк.
Змн.	Арк.	№ докум.	Підпис	Дата		

1.2 Аналіз технологічності конструкції деталі

Якісний аналіз.

По кресленню деталі встановлюємо:

- матеріал деталі Сталь 45, забезпечує можливість отримати заготовку більш простим та недорогим методом, застосувавши при обробці високопродуктивні методи, устаткування та технологічне оснащення;
 - закритих та важкодоступних поверхонь немає;
 - на кресленні проставлені всі необхідні для виготовлення розміри з відхиленнями, шорсткість, допуски форми та розташування поверхонь;
 - конструкція деталі дозволяє проводити обробку високопродуктивними методами на прохід;
 - при обробці деталі непотрібно створювати штучні бази, для базування цілком достатньо тих поверхонь, які є на деталі.

На підставі проведеного аналізу по якісним показникам можна зробити висновок, що конструкція деталі “Вісь культиватора АКПН 324.021” технологічна і не викликає труднощів у виготовленні.

Аналіз технологічності по кількісним показникам

Коефіцієнт точності:

$$K_{Tч} = 1 - \frac{1}{T_{CP}}, \quad (1.1)$$

де T_{CP} – середній квалітет точності обробки.

$$T_{CP} = \frac{\sum T \cdot n_l}{\sum n_l}, \quad (1.2)$$

де n – кількість поверхонь деталі відповідного класу точності;

T – клас точності обробки.

$$T_{CP} = \frac{(14 \cdot 1 + 7 \cdot 3 + 8 \cdot 8)}{12} = 8.25. \quad K_{Tч} = 1 - \frac{1}{8.25} = 0.88.$$

									Арк.
Змн.	Арк.	№ докум.	Підпис	Дата					

Деталь по коефіцієнту точності є технологічною, так як згідно

ГОСТ 14.202-73 $0 < K < 1$; $0 < 0,88 < 1$.

Коефіцієнт шорсткості:

$$K_{Ш} = \frac{1}{Ш_{CP}}, \quad (1.3)$$

де $Ш_{CP}$ – середній клас шорсткості поверхні виробу:

$$Ш_{CP.} = \frac{\sum Ш \cdot n_{IM}}{\sum n_{IM}}, \quad (1.4)$$

де Ш – клас шорсткості поверхні;

n_I – кількість поверхонь відповідного класу шорсткості.

$$Ш_{CP.} = \frac{(0.63 \cdot 3 + 3.2 \cdot 8 + 6.3 \cdot 1)}{12} = 2.8.$$

Згідно ГОСТ 14.202-73, $0 < 0,24 < 1$ – деталь технологічна по шорсткості поверхні.

Виходячи якісного та кількісного аналізу, робимо висновок про те, що деталь є технологічною.

						Арк.
Змн.	Арк.	№ докум.	Підпис	Дата		

1.3 Визначення програми випуску деталей і величини виробничої партії.

Тип виробництва – середньо серійний

Кількість робочих змін – 2

Таблиця 1.3 – Трудомісткість операції

№	Назва операції	T_o , хв	$T_{ум-к}$, хв
1	2	3	4
005	Відрізно-круглопилна	2,1	4,1
010	Токарно-гвинторізна	4,38	7,95
015	Токарно-гвинторізна	5,61	8,3
020	Вертикально-свердлувальна	1,1	3,10
025	Горизонтально-фрезерна	1,8	3,2
030	Вертикально-фрезерна	1,4	3,1
035	Круглошліфувальна	1,1	2,9
			32,62

Число операцій – $n=7$

Загальний час на обробку однієї деталі - $\sum_{i=1}^n T_{ум-к} = 32,62 \text{ хв}$

Середній штучний час на одну операцію

$$T_{ум-к.сер} = \frac{\sum_{i=1}^n T_{ум-к}}{7} = \frac{32,62}{7} = 4,66 \text{ хв}$$

Такт випуску деталей

$$t_g = k_3 T_{ум-к.сер} = 10 * 4,66 = 46,6 \text{ хв}$$

Річна програма випуску деталей

$$N = \frac{F * 60}{t_g} = \frac{4800 * 60}{46,6} = 6180,26 \text{ шт}$$

де F-річний фонд часу

Проведемо розрахунок кількості деталей в партії:

$N=6181$

$$T_{ум-к.сер} = 4,66 \text{ хв}$$

Періодичність запуску виробів $a=5$ днів

Число робочих днів у році $F=251$ дні

Розрахункова кількість деталей в партії:

$$n_o = \frac{N * a}{F} = \frac{6181 * 5}{251} = 123,12$$

Приймаємо $n_o = 124$

Розрахунокве число змін на обробку партії деталей

$$C = \frac{T_{ум-к.сер} n_o}{480 * 2} = \frac{4,66 * 124}{480 * 2} = \frac{577,8}{964} = 0,599$$

						Арк.
Змн.	Арк.	№ докум.	Підпис	Дата		

Приймаємо 1 зміни
Прийнята кількість деталей в партії

$$n_{\partial} = \frac{C_p * F_0 * 0.8}{T_{\text{шт-к.сер}}} = \frac{1 * 480 * 0,8}{4,66} = 82,4$$

Приймаємо 83 деталей

						Арк.
Змн.	Арк.	№ докум.	Підпис	Дата		

1.4 Вибір способу отримання заготовки

На вибір метода отримання заготовки впливають такі фактори: матеріал деталі, її призначення та технічні умови на виготовлення, об'єм та серійність виготовлення, форма поверхонь та розміри деталі.

Прокат:

Заготовка: прокат сортовий круглий гарячекатаний нормальної точності 48 х 140 ГОСТ 2590-88 матеріал Сталь 45 ГОСТ 1050 – 88.

Маса деталі 0,95 кг.

Маса заготовки 1,9 кг.

Оскільки у якості заготовки використовується прокат гарячекатаний круглий високої точності ГОСТ 2590-88 тоді припуск назначаємо на торці деталі для виконання операції підрізки торця у розмірі 3 мм на сторону.[1]

Допуски на циліндричну поверхню для прокату нормальної точності 48 по ГОСТ 2950 – 88 лежать у межах $\begin{matrix} +0.4 \\ -0.75 \end{matrix}$ [1].

Коефіцієнт використання матеріалу становить 0,5%

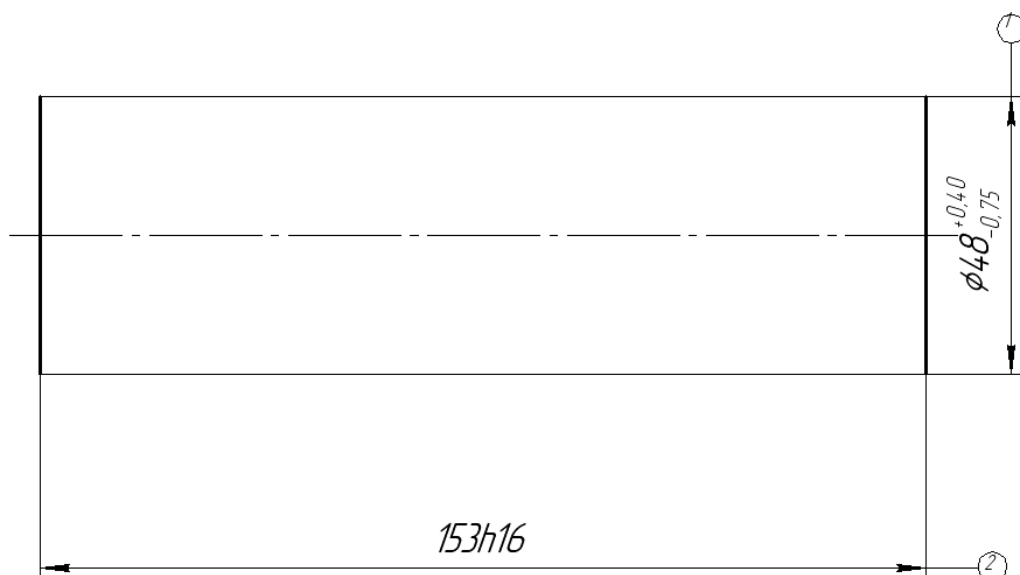


Рис . Ескіз заготовки

						Арк.
Змн.	Арк.	№ докум.	Підпис	Дата		

1.5. Розробка маршруту обробки деталі

Таблиця 1.5.1 – Проектний маршрут механічної обробки деталі

№	Назва операції. Зміст переходу	Верстат	Пристрій.
1	2	3	4
005	Відрізно-круглопилна А. Встановити, закріпити і зняти. 1. Відрізати в розмір $L=140$ мм	8A631	Лещата машині з губками ГОСТ 14364-69
010	Токарно-гвинторізна А. Встановити, закріпити і зняти заготовку. 1. Точити торець в розмір 137 мм 2. Точити зовнішню циліндричну поверхню в розмір $d=45$ мм, $L=10$ мм 3. Точити фаску в розмір $2*45^\circ$	1A616	Патрон токарний трьохкулачковий самоцентруючий 7654-12 ГОСТ 19344-79
015	Токарно-гвинторізна З ЧПК А. Встановити, закріпити і зняти заготовку. 1. Точити торець в розмір $L=134$ мм 2. Точити зовнішню циліндричну поверхню в розмір $d=35$ мм, начорно, начисто 3. Точити канавку в розмір $b=3$ мм 4. Точити фаску в розмір $2*45^\circ$	16K20Ф3	Патрон токарний трьохкулачковий самоцентруючий 7654-12 ГОСТ 19344-79
020	Вертикально-свердлувальна А. Встановити, закріпити і зняти заготовку. 1. Свердлувати отвір витримуючи розміри $d=8$ мм, $L=78$ мм 2. Розгорнути отвір витримуючи розміри ($A=12$ мм. $B=13$ мм)	2H118	Лещата машині з призматичними губками з вертикальним розміщенням губок 2389-5462 по ГОСТ 78932-69, втулка перехідна 2435-6573 ГОСТ 34089-81
025	Горизонтально-фрезерна А. Встановити, закріпити і зняти заготовку. 1. Фрезерувати паз в розмір 25 мм	6P80Г	Лещата машині з призматичними губками 2389-5445 по ГОСТ 78932-69
030	Вертикально-фрезерна А. Встановити, закріпити і зняти заготовку. 1. Фрезерувати змащувальний паз в розмір 8 мм 2. Свердлувати отвір в розмір 8 мм	6P10	Лещата машині з призматичними губками 2389-5445 по ГОСТ 78932-69

										Арк.
Змн.	Арк.	№ докум.	Підпис	Дата						

1	2	3	4
035	Круглошліфувальна А. Встановити, закріпити і зняти заготовку. 1.Шліфувати однократно зовнішню циліндричну поверхню	ЗМ150	Патрон трьохкулачковий самоцентруючийся 5463-12 ГОСТ 17644-79
040	Контрольна	Стіл ОТК	-

										Арк.
Змн.	Арк.	№ докум.	Підпис	Дата						

1.6. Розробка операційної технології
1.6.1 Розрахунок припусків на механічну обробку
і визначення технологічних розмірів.

Розрахунок припусків на поверхню $\varnothing 35f7$

Поверхня оброблюється чорновим, чистовим точінням та попереднім шліфуванням.

1. Розрахунок і вибір величини елементів припуску на заготовку.

$R_{z0} = 300$ мкм., [2] $\epsilon_y = 370$ мкм., [2] обробка в патроні,

$$\Delta\Sigma_3 = \Delta K_3 \cdot L \quad (2.11)$$

де ΔK_3 - коефіцієнт кривизни профілю сортового прокату, $\Delta K_3 = 0.12$,

[2] L-довжина заготовки, $L = 140$ мм,

$$\Delta\Sigma_3 = 0.12 \cdot 140 = 18 \text{ мкм.}$$

2. Розрахунок і вибір величини елементів припуску на чорнове

точіння. $R_z = 50$ мкм., [2] $h = 50$ мкм., [2]

$$\Delta\Sigma_{T\text{чор}} = \Delta\Sigma_i K_y, \quad (2.12)$$

де K_y - коефіцієнт уточнення, $K_y = 0.06$, [2]

$$\Delta\Sigma_1 = 18 - 0.06 = 1 \text{ мкм.}$$

$$\epsilon_{y.\text{чор}} = \epsilon_y / K_y, \quad (2.13)$$

$$\epsilon_{y.\text{чор}} = 370 \cdot 0.06 = 22 \text{ мкм}$$

3. Розрахунок і вибір величини елементів припуску на чистове точіння

$R_z = 20$ мкм., $h = 10$ мкм., [2] $\epsilon_y = 40$ мкм., [2]

$$\Delta\Sigma_3 = 1 - 0.05 = 0 \text{ мкм.} \quad \epsilon_{y.\text{чист}} = 22 \cdot 0.05 = 1 \text{ мкм}$$

4. Розрахунок і вибір величини елементів припуску на однократне шліфування

$R_z = 10$ мкм., [2]

$h = 0$ мкм, після термічної обробки параметр h виключається з розрахунків

$$\epsilon_{y.\text{шл}} = 0 \text{ мкм.} \quad \Delta\Sigma_3 = 0 \text{ мкм.}$$

									Арк.
Змн.	Арк.	№ докум.	Підпис	Дата					

6. Розрахунок мінімальних припусків

$$2Z_{i-1} = 2(R_{zi} + h_{i-1} + \sqrt{\Delta^2 \sum_i + \varepsilon_i^2})$$

$$2Z_{1\min} = 2(300 + \sqrt{370^2 + 18^2}) = 1341 \text{ мкм.}$$

$$2Z_{2\min} = 2(50 + 50 + \sqrt{22^2 + 1^2}) = 244 \text{ мкм.}$$

$$2Z_{3\min} = 2(20 + 10 + 1) = 62 \text{ мкм.}$$

7. Визначаємо розрахунковий розмір $P_p = 34.964 \text{ мм.}$

Відхилення заготовки $48 \left(\begin{smallmatrix} +0,4 \\ -0,75 \end{smallmatrix} \right)$

Перевірка

$$22_{\text{отп}} = 1.34 + 0.24 + 0.066 = 1.646 \text{ мм.}$$

$$22_{\text{отак}} = 2.33 + 0.32 + 0.121 = 2.771 \text{ мм.}$$

$$22_{\text{отак}} - 22_{\text{отп}} = 2.771 - 1.646 = 1.125 \text{ мм.}$$

$$T_3 - T_d = 1.15 - 0.025 = 1.125 \text{ мм.}$$

Так як $T_3 - T_c = 22_{\text{отак}} - 22_{\text{отп}} \cdot T_0$ розрахунки виконані вірно.

10. Визначення номінальних припусків

$$22_{\text{ном}} = 1.646 + 0.75 - 0.036 = 2.36 \text{ мм}$$

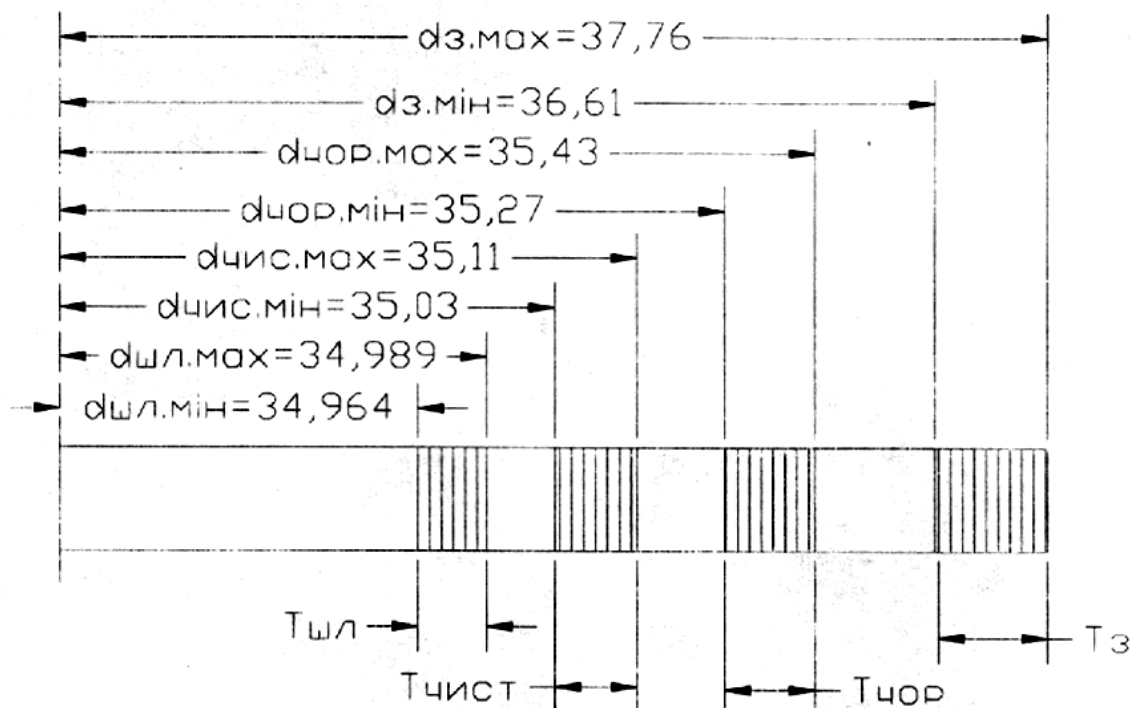


Рис 2.8 - Схема розміщення допусків та припусків

Табличний метод призначення припусків

						Арк.
Змн.	Арк.	№ докум.	Підпис	Дата		

Ґрунтується на виборі з довідникових таблиць готових значень припусків в залежності від розмірів деталі та допуску на розмір, що значно полегшує роботу конструктора [18]. Припуски наведено в таблиці.

Таблиця. Зведена таблиця припусків призначених табличним методом

Поверхня	Маршрут	Шорсткість	Припуск на поверхню	Розмір з допуском	Кількість проходів
45h14	Заготовка Точіння чорнове	Ra 6,3	1,5 мм	$48^{+0,4}_{-0,62}$	1
$134^{-0,1}$	Підрізка торця	Ra 6,3	1,6 мм	$136^{+1,4}$	2

1.6.2. Розрахунок режимів різання та норм часу

						Арк.
Змн.	Арк.	№ докум.	Підпис	Дата		

Визначення режимів різання.

Розрахунок режимів різання аналітичним методом

1) На токарну обробку поверхні $\varnothing 48$ начорно ,операція 010.

1 .Вибір інструмента

На дану операцію різець проектується з такими параметрами

Різець токарний прохідний відігнутий правий з пластинками з твердого сплаву Т15К6 ГОСТ 18881-73

$$\varphi = 90^\circ \quad \lambda = 8^\circ; \quad B \times h = 25 \times 25 [2]$$

$$\varphi_1 = 5^\circ; \quad \lambda = 0^\circ; \quad r = 0.4 \text{ мм.}; \quad \gamma = 10^\circ$$

[2] 2.Глибина різання $t = 1.5$ мм.

3. Подача $s = 1.0$ мм/об. [2]

4.Швидкість різання

$$V = K_v C_v / (T^m I^x S^y), \quad (2.14)$$

де C_v, m, x, y - зміні параметри; $C_v = 420$, $x = 0.15$, $y = 0.20$, $m = 0.2$ [2] Т-стійкість різця, $T = 90$ хв. K_v -поправочний коефіцієнт

$$K_v = K_{mv} K_{nv} K_{iv}, \quad (2.15)$$

де K_{nv} - коефіцієнт, що враховує вплив стану поверхні деталі, $K_{nv} = 0.9$ [3]

K_{iv} - коефіцієнт, що враховує вплив інструмента, $K_{iv} = 1$ [2] K_{mv} -

коефіцієнт, що враховує вплив матеріала заготовки

$$K_{mv} = K_r (750/\sigma_v)^{n_v}, \quad (2.16)$$

де K_r, n_v - коефіцієнти; $K_r = 1$, $n_v = 1$ [2]

$$K_{mv} = 1 (750/610)^1 = 1.22$$

$$K_v = 0.9 \cdot 1 \cdot 1.22 = 1.1$$

$$V = 1.1 \cdot 420 / (90^{0.2} \cdot 1.5^{0.15} \cdot 1.0^{0.2}) = 142 \text{ м/хв.}$$

5.Частота обертання

$$n = (1000V) / (\pi \cdot d) = (1000 \cdot 142) / (3.14 \cdot 48) = 941 \text{ об/хв.}$$

						Арк.
Змн.	Арк.	№ докум.	Підпис	Дата		

Так як в верстаті ступеневе регулювання то приймаємо по паспорту верстата $n=890$ об/хв.

Тоді $V=3.14*48*890/1000=134$ м/хв

6.Визначення сили різання

$$P_z=10 \cdot C_p t^x s^y V^n K_p, \quad (2.17)$$

де C_p, x, y, n - зміні параметри, $C_p=300, x=1.0, y=0.75, n= -0.15$ [2]

K_p - поправочний коефіцієнт

$$K_p = K_{mp} K_{\phi p} K_{\gamma p} K_{\lambda p} K_{gp}, \quad (2.18)$$

де $K_{\phi p} K_{\gamma p} K_{\lambda p} K_{gp}$ - поправочні коефіцієнти, $K_{\phi p} = 0.9, K_{\gamma p} = 1, K_{\lambda p} = 1;$

$K_{gp} = 1; K_{mp}$ - коефіцієнт, що враховує якість обробленої поверхні,

$$K_{mp}=(610/750)^{0.75}=0.86$$

$$K_p = 0.9 \cdot 0.86 \cdot 1 \cdot 1 \cdot 1=0.774$$

$$P_z=10 \cdot 300 \cdot 1.5^1 \cdot 1^{0.75} \cdot 150^{-0.15} \cdot 0.774=1500\text{Н.}$$

7.Потужність різання

$$N_p=(P_z \cdot V)/(1020 \cdot 60)=(1500 \cdot 150)/(1020 \cdot 60)=3,0 \text{ кВт.}$$

8.Перевірка можливості обробки на верстаті 1А616

$$N_{шп} = N_{дв} \eta=4 \cdot 0.8=3,2 \text{ кВт.}$$

Так як $N_{шп}=3,2 \text{ кВт} > N_p=3,0 \text{ кВт}$ то обробка на даному верстаті можлива

9.Час обробки

$$t=(L+\Delta+Y) i/(S_0 n), \quad (2.19)$$

де Δ - величина врізання, $\Delta=1$ мм. Y – величина перебігу, $Y= 1$ мм.

L – довжина обробки, $L =10$ мм, $i = 1$.

$$T_0=(10+1+1)*1/(1*1000)=0,12 \text{ хв.}$$

Розрахунок режимів різання для свердлування отвору $\varnothing 8$ мм

Приймаємо свердло спіральне із швидкорізальної сталі з конічним хвостовиком ГОСТ 2092-77.

Геометричні параметри свердла: форма заточки ДП – подвійна із заточкою

									Арк.
Змн.	Арк.	№ докум.	Підпис	Дата					

поперечної кромки; $\alpha = 12^\circ$; $\varphi = 40 \dots 60^\circ$; $2\varphi = 118^\circ$; $a = 1,5$ мм; $h = 1,5$ мм; $k = 2,3$ мм; $l_1 = 3,0$ мм; $\omega = 35^\circ$; $d = 10$ мм; $L = 250$ мм; $l = 170$ мм, [17].

1) Глибина різання:

$$t = 0,5 \cdot D = 0,5 \cdot 8 = 4 \text{ мм.} \quad (2.20)$$

2) Подача: $S = 0,36 \dots 0,45$ мм/об [2],

приймаємо $S = 0,4$ мм/об.

3) Швидкість головного руху різання V , м/хв., визначаємо по формулі:

$$v = \frac{C_v \cdot D^q}{T^m \cdot S_z^y} \cdot K_v, \quad (2.21)$$

де C_v – коефіцієнт, $C_v = 17,1$ [2];

T – період стійкості, $T = 35$ хв [2];

q, m, x, y, u, p – показники степеня приймаємо по [2]:

$q = 0,25$; $m = 0,125$; $y = 0,4$;

K_v – загальний поправочний коефіцієнт на швидкість різання, враховуючи фактичні умови різання:

$$K_v = K_{mv} \cdot K_{lv} \cdot K_{iv}, \quad (2.22)$$

де K_{mv} – коефіцієнт, який враховує якість матеріалу, який обробляється визначаємо по [2];

$$K_{mv} = \left(\frac{190}{HB} \right)^{n_v}, \quad (2.23)$$

де n_v – показник степеня, $n_v = 1,25$ [2],

$$K_{mv} = \left(\frac{190}{165} \right)^{1,25} = 1,193;$$

K_{lv} – коефіцієнт, який враховує глибину свердління, $K_{lv} = 0,9$ [2];

K_{iv} – коефіцієнт, який враховує матеріал інструмента, $K_{iv} = 1,0$ [2].

$$K_v = 1,193 \cdot 0,9 \cdot 1,0 = 1,074.$$

$$v = \frac{17,1 \cdot 8^{0,25}}{35^{0,125} \cdot 0,4^{0,4}} \cdot 1,074 = 28,2 \text{ м/хв.}$$

									Арк.
Змн.	Арк.	№ докум.	Підпис	Дата					

4) Частота обертання шпинделя, яка відповідає знайдений швидкості головного руху різання:

$$n = \frac{1000 \cdot v}{\pi D} = \frac{1000 \cdot 28,2}{3,14 \cdot 8} = 1120 \text{ об/хв.} \quad (2.24)$$

Приймаємо $n = 1250$ об/хв

5) Крутний момент

$$M_{кр} = 10 \cdot C_M \cdot D^q \cdot S^y \cdot K_p, \quad (2.25)$$

де $C_M = 0,021$; $q = 2,0$; $y = 0,8$ [2];

K_p – поправочний коефіцієнт, який враховує фактичні умови обробки, в даному випадку залежить тільки від матеріалу заготовки:

$$K_p = K_{mp} = \left(\frac{HB}{190} \right)^{n_p} = \left(\frac{165}{190} \right)^{0,6} = 0,92, \quad (2.26)$$

де n_p – показник степені, $n_p = 0,6$ [2];

$$M_{кр} = 10 \cdot 0,021 \cdot 8^{2,0} \cdot 0,4^{0,8} \cdot 0,92 = 0,36 \text{ Н}\cdot\text{м.}$$

б) Осьова сила різання:

$$P_0 = 10 \cdot C_p \cdot D^q \cdot S^y \cdot K_p, \quad (2.27)$$

де $C_p = 42,7$; $y = 0,8$; $q = 2,0$ [2].

$$P_0 = 10 \cdot 42,7 \cdot 10^{1,0} \cdot 0,4^{0,8} \cdot 0,92 = 1860,4 \text{ Н.}$$

7) Потужність різання:

$$N_{різ} = \frac{M_{кр} \cdot n}{9750} = \frac{8,7 \cdot 1120}{9750} = 0,98 \text{ кВт.} \quad (2.28)$$

Перевіряємо чи достатня потужність привода верстата для проведення цієї операції.

Потужність на шпинделі верстата:

$$N_{шп} = N_{ст} \cdot \eta, \quad (2.29)$$

де $N_{ст}$ – потужність привода головного руху, $N_{ст} = 6,3$ кВт;

η – коефіцієнт корисної дії, $\eta = 0,75$,

$$N_{шп} = 6,3 \cdot 0,75 = 4,73 \text{ кВт.}$$

Перевірку проводимо згідно співвідношення:

									Арк.
Змн.	Арк.	№ докум.	Підпис	Дата					

$$N_{\text{шт}} > N_{\text{різ}},$$

$$0,91 > 6,3.$$

Обробка можлива.

8) Визначення основного часу на перехід:

$$t_o = l_{p.x} / S \cdot n_d, \quad (2.30)$$

де $l_{p.x}$ – довжина робочого ходу інструменту;

$$l_{p.x} = l_{\text{різ}} + y + \Delta, \quad (2.31)$$

де y – підвід, врізання та перебіг інструменту,

$$y = (D/2) \cdot \text{ctg}\varphi = (8/2) \cdot \text{ctg}59^\circ = 3 \text{ мм}, [5];$$

Δ – величина перебігу, $\Delta = 1 \dots 2$ мм, приймаємо $\Delta = 2$ мм;

$$l_{p.x} = 65 + 3 + 2 = 70 \text{ мм};$$

$$t_o = 70 / 1120 \cdot 0,4 = 0,11 \text{ хв.}$$

Табличний метод. Усі інші режими розраховуються табличним методом і результати зводяться в таблицю 2.6.

Таблиця 2.6 – Режими різання усіх інших операцій.

Назва переходу	t, мм	Sм, мм/х	So, мм/о	V, м/хв	n, хв ¹	P ₀ н	P _Z н	Np, кВт	T ₀ , хв
005Відрізна	4	50		44,1	39,7		1200	3,6	1,99
010Токарно-гвинторізна	1,5		0,3	92	710		1200	0,3	3,95
015Токарно-гвинторізна з ЧПК	1		0,18	83	710		1180	0,23	4,93
020Вертикально- свердлувальна	4		0,31	28,2	1120	1860		0,67	0,7
025Горизонтально- фрезерна	3	260		41,2	200		1430	0,31	1,2
030Вертикально- фрезерна	8	200		28,5	200		980	0,31	0,8
035круглошліфувальна	0,25		0,15	35м/с	5000		1320	0,6	0,6

									Арк.
Змн.	Арк.	№ докум.	Підпис	Дата					

Засоби технологічного оснащення

Таблиця 3. – Засоби технологічного оснащення

№	Маршрут обробки	Верстат	Інструмент		Пристрої
			Різальний	Контрольний	
1	2	3	4	5	6
005	Відрізно-круглопилна 1.Відрізати пруток в розмір $L=140\text{мм}$	8А631	Дискова сегментна пила для метала $B=350\text{ мм}, B=4\text{ мм}.$ ГОСТ 6469-73;	Лінійка металева слюсарна Л-1000 ГОСТ 1657-78	Лещата машині з призматичним и губками ГОСТ 14364-69
010	Токарно-гвинторізна 1.Точити торець в розмір 137 мм 2.Точити зовнішню циліндричну поверхню в розмір $d=45\text{ мм}, L=10\text{ мм}$ 3.Точити фаску в розмір $2*45^\circ$	1А616	Різець токарний прохідний відігнутий правий з пластинками з твердого сплаву ГОСТ 18881-73	Штангенциркуль ШЦ-2-150-0.05 ГОСТ 166-80 Шаблони	Патрон токарний трьохкулачковий самоцентруючий 7654-12 ГОСТ 19344-79
015	Токарно-гвинторізна З ЧПК 1.Точити торець в розмір $L=134\text{ мм}$ 2.Точити зовнішню циліндричну поверхню в розмір $d=35\text{ мм},$ начорно, начисто 3.Точити канавку в розмір $b=3\text{ мм}$ 4.Точити фаску в розмір $2*45^\circ$	16К20Ф3	Різець токарний прохідний відігнутий правий з пластинками з твердого сплаву ГОСТ 18881-73 Різець токарний канавочний правий з твердого сплаву ГОСТ 18884-73 Різець токарний прохідний упорний правий з пластинками з твердого сплаву ГОСТ 18879-73	Штангенциркуль ШЦ-1-125-0.05 ГОСТ 166-80 Шаблон -	Патрон токарний трьохкулачковий самоцентруючий 7654-12 ГОСТ 19344-79

										Арк.
Змн.	Арк.	№ докум.	Підпис	Дата						

Продовження таблиці 3

1	2	3	4	5	6
020	Вертикально - свердлувальна 1.Свердлувати отвір витримуючи розміри d=8 мм, L=78 мм 2. Розгорнути отвір витримуючи розміри (l=12 мм. B=13 мм	2Н118	Свердло спіральне з швидкорізальної сталі з конічним Хвостовиком 8 мм, l=95 мм, B=160 мм. Свердло 12 мм конічним хвостовиком B=12мм B=96, l=22 мм по ГОСТ 17026-71	Штангенциркуль ШЦ-1-125-0.05 ГОСТ 166-80	Лещата машині з призматичними губками з вертикальним розміщенням губок 2389-5462 по ГОСТ 78932-69, втулка перехідна 2435-6573 ГОСТ 34089-81
025	Горизонтально-фрезерна 1.Фрезерувати паз в розмір 25 мм	6P80Г	Фреза дискова пазова D=50 мм, B=3 мм по ГОСТ 1695-80	Штангенциркуль ШЦ-1-125-0.05 ГОСТ 166-80	Лещата машині з призматичними губками 2389-5445 по ГОСТ 78932-69
030	Вертикально-фрезерна 1.Фрезерувати змашувальний паз в розмір 8 мм 2. Свердлувати отвір в розмір 8 мм	6P10	Фреза фасонна, свердло спіральне з швидкорізальної сталі ХВОСТОВИКОМ CI=8 мм, l=95 мм, B=160 мм.	Штангенциркуль ШЦ-1-125-0.05 ГОСТ 166-80	Лещата машині з призматичними губками 2389-5445 по ГОСТ 78932-69
035	Круглошліфувальна 1.Шліфувати однократно зовнішню циліндричну поверхню	3M150	Круг шліфувальний ПП 200*35*32 35 м/с 22A25PCM17K6 A1	Калібр-скоба	Патрон Трьохкулачковий самоцентруючий 5463-12 ГОСТ 17644-79
040	Контрольна	Стіл ОТК		Штангенциркуль ШЦ-2-250-0.1 ГОСТ 166-80 Штангенциркуль ШЦ-1-125-0.05 ГОСТ 166-80 Калібр-скоба Шаблони	

						Арк.
Змн.	Арк.	№ докум.	Підпис	Дата		

1.7 Визначення норм часу.

Одна операція, а саме 005 розраховується і приводиться в записці, а інші розраховуються і результати зводяться у таблицю 2.8.

В серійному виробництві визначається по [4] норма штучно-калькуляційного часу, $T_{шт.к.}$

$$T_{шт.к.} = \left(\frac{T_{п.з.}}{n} \right) + T_{шт.т.}, \quad (2.32)$$

$$T_{шт.т.} = T_o + T_d + T_{об} + T_{від}, \quad (2.33)$$

де $T_{шт.т.}$ – штучний час обробки деталі, хв.;

$T_{п.з.}$ – підготовчо-заклучний час на обробку, хв.;

n – кількість деталей в партії, яка налагоджується;

T_o – основний час обробки, хв.;

T_b – допоміжний час обробки, хв.;

$T_{об}$ – час на обслуговування робочого місця, хв.;

$T_{від}$ – час відпочинку, хв.

$$T_o = 1,9 \text{ хв.}$$

$$T_d = T_{вст} + T_{з.о} + T_{кер} + T_{вим}, \quad (2.34)$$

де $T_{вст}$ – час встановлення та зняття деталі, хв.;

$T_{з.о}$ – час на закріплення та відкріплення деталі, хв.;

$T_{кер}$ – час на керування верстатом, хв.;

$T_{вим}$ – час на вимірювання деталі, хв.

$$T_{вст} = 0.14 \sim 1.5 = 0.21 \text{ хв.}, [11];$$

$$T_{кер} = (0.01 + 0.035 + 0.05 + 0.04 \sim 4) \sim 1.9 = 0.47 \text{ хв.}, [11];$$

$$T_{з.о.} = 0.024 \text{ хв.}, [11]; \quad T_{вим} = (0.16 + 0.18) \sim 1.9 = 0.63 \text{ хв.};$$

$$T_d = 0.185 + 0.47 + 0.024 + 0.63 = 1.31 \text{ хв.}$$

де 1.9 – поправочний коефіцієнт, що враховує тип виробництва – дрібносерійний, [11,с.101]

									Арк.
Змн.	Арк.	№ докум.	Підпис	Дата					

$$T_{O,Б} + T_{ВІД} = P_{OБ.ВІД} \cdot \left(\frac{T_O + T_D}{100} \right), \quad (2.35)$$

де $P_{OБ.ВІД}$ – норматив часу на обслуговування робочого місяця, відпочинок та природні потреби $P_{OБ.ВІД} = 6\%$, [11,с.215]

$$T_{O,Б} + T_{ВІД} = 6 \cdot \left(\frac{1,9 + 1,31}{100} \right) = 0,138 \text{ хв}, T_{ШТ.} = 1,9 + 1,31 + 0,138 = 3,4 \text{ хв}. \quad T_{П.З.} = 13 \text{ хв.}, [2]$$

$$n = \frac{N \cdot a}{254}, \quad (2.36)$$

де a – періодичність запуску деталей, $a = 12$ днів.

$$n = \frac{5000 \cdot 12}{254} = 236$$

Виконуємо корегування, яке полягає в визначенні числа змін та партій деталей за зміну:

$$C = \frac{T_{ШТ.} \cdot n_P}{476 \cdot 0,8} = \frac{3,4 \cdot 236}{476 \cdot 0,8} = 2,3.$$

Приймаємо $C_{пр} = 2$ зміни:

$$n_{пр.} = \frac{476 \cdot 0,8 \cdot C_{пр.}}{T_{ШТ.}} = \frac{476 \cdot 0,8 \cdot 2}{3,63} = 207,5. \quad (2.37)$$

Тоді:

$$T_{ШТ.К.} = \frac{13}{207,5} + 3,4 = 3,5 \text{ хв.}$$

Таблиця 4 – Норми часу.

Операція №	То хв	Тдоп хв	Тоб+Твід хв	Тшт хв	Тп.з хв	Тшт.к хв
1	2	3	4	5	6	7
005	1,9	1,31	0,138	3,4	13	3,7
010	3,95	1,6	0,3	5,85	10	7,1
015	4,93	1,6	0,3	5,85	10	7,9
020	0,7	1,3	0,12	2,2	18	2,4
025	1,2	1,2	0,12	2,51	15	2,9
030	0,8	1,2	0,12	2,12	15	2,3
035	0,6	1,5	0,123	2,22	8	2,28

						Арк.
Змн.	Арк.	№ докум.	Підпис	Дата		

2.КОНСТРУКТОРСЬКА ЧАСТИНА

2.1. Проектування пристрою для свердлування отвору $\varnothing 8$ мм

2.1.1. Вибір схеми базування та установочних елементів

Деталь базується по торцю та зовнішній поверхні деталі. Схема базування показана на рисунку 2.1. Базовими елементами є призма та опорна пластина.

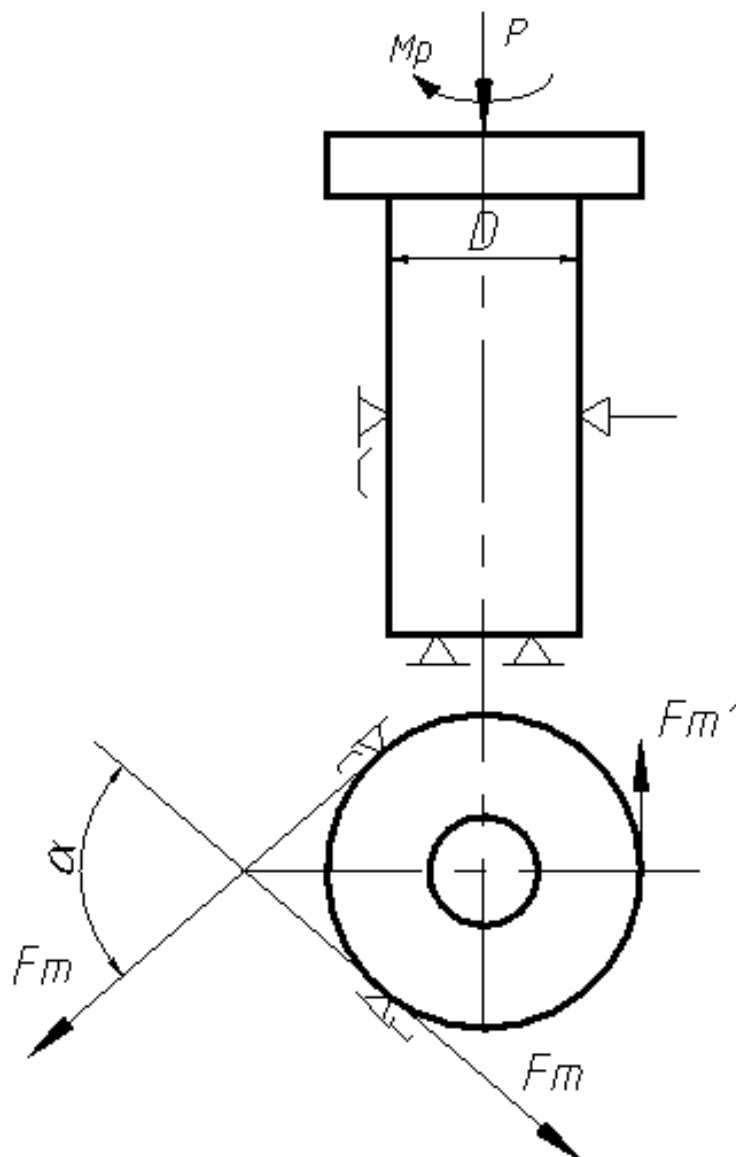


Рис. 2.1 – Схема базування заготовки

2.1.2. Розрахунок сили затиску заготовки

Розрахунок ведемо за формулою складеною на основі рівноваги заготовки під дією усіх сил, які на нею діють. Силу різання P_0 не враховуємо тому, що вона діє як закріплююча сила.

						Арк.
Змн.	Арк.	№ докум.	Підпис	Дата		

$$M_{pi3} \cdot k = 2F_{мер} \cdot \frac{D}{2} + 2F'''_{мер} \cdot \frac{D}{2}, \quad (2.1)$$

Тоді:

$$M_{pi3} \cdot k = \left(2 \frac{W \cdot f}{2 \cdot \sin \lambda / 2} \frac{D}{2} + W \cdot f \right) \cdot \frac{D}{2},$$

де $K=1,5, f=0,1$ [8]

звідки:

$$W = \frac{2M_{Pi3} \cdot k}{\frac{f}{\sin \lambda / 2} + f} = \frac{2 \cdot 0,36 \cdot 1,5}{0,1 \left(\frac{1}{0,8764} + 1 \right) 0,035} = 1083 \text{ Н}$$

2.1.2. Розрахунок приводу пристрою

Кінематична схема пристрою показана на рисунку 2.2.

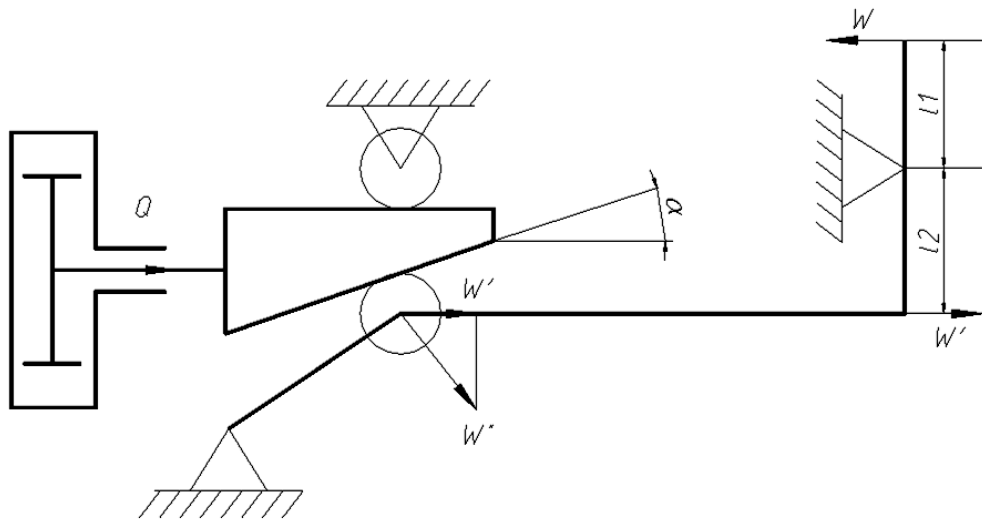


Рис.2.2 – Кінематична схема пристрою

Знайдемо силу W^1 з рівняння рівноваги важеля

$$W \cdot L_1 \cdot \eta = L_2 \cdot W^1, \quad (2.2)$$

де $L_1=30$, $L_2=70$ мм, $\eta=0,95$

звідки

$$W^1 = \frac{W \cdot L_1}{L_2} \eta.$$

$$W^1 = \frac{1083 \cdot 30}{70} 0,95 = 464 \text{ Н.}$$

Розглянемо залежності сил з прямокутного трикутника та знайдемо W^{II}

						Арк.
Змн.	Арк.	№ докум.	Підпис	Дата		

де $\lambda = 30^\circ$

$$W^{11} = \frac{W^1}{\cos \lambda} = \frac{464}{0,8628} = 538 \text{ Н}$$

Знайдемо зв'язок між силою W^{11} та силою Q за формулою

$$Q = \frac{W^{11}}{\operatorname{tg}(\lambda + \varphi_{np})}, \quad (2.3)$$

де $\lambda = 30^\circ$, $\varphi_{np} = 2^\circ$.

$$Q = \frac{538}{\operatorname{tg} 32^\circ} = \frac{538}{0,627} = 858 \text{ Н.}$$

2.1.4 Розрахунок розмірів приводу

Розрахунок ведемо за формулою

$$D = \sqrt{\frac{4Q}{\pi p \eta}}, \quad (2.4)$$

де $P = 0,4$ МПа, $\eta = 0,95$

$$D = \sqrt{\frac{4 \cdot 858}{3,14 \cdot 0,4 \cdot 0,95}} = 53,6 \text{ мм.}$$

Згідно конструкції базового агрегату збірно-розбірною пристрою найменший розмір приводу, який застосовується дорівнює $\varnothing 80$ мм. Тому приймаємо діаметр поршня пневмоциліндра $\varnothing 80$ мм.

Фактичне значення зусилля приводу визначимо за формулою

$$Q_\phi = \frac{\pi D^2}{4} p \eta = \frac{3,14 \cdot 8^2}{4} 6,3 \cdot 0,95 = 300,6 \text{ кг} = 3006 \text{ Н.}$$

2.1.5. Розрахунок на міцність елементів пристрою

Найбільш навантаженим елементом пристрою є вісь. Перевіримо міцність вісі на зріз за формулою:

$$D = \sqrt{\frac{4Q}{\pi \cdot n \cdot [\tau]}}, \quad (2.5)$$

де на неї діє зусилля, яке її перерізує $P = 3006$ Н, $n=2$, $[\tau] = 100$ МПа

									Арк.
Змн.	Арк.	№ докум.	Підпис	Дата					

$$D = \sqrt{\frac{4 \cdot 3006}{3,14 \cdot 2 \cdot 100}} = 4,3 \text{ мм.}$$

На кресленні конструктивно прийнято діаметр вісі 13 мм, тому є запас міцності

$$K = \frac{13}{4,3} = 3.$$

2.1.6. Розрахунок на точність

Розрахунок ведемо за формулою:

$$\varepsilon_{\text{доп}} = T \cdot k \omega, \quad (3.6)$$

де $k=0,6$; $\omega=0,1$; $T=\pm 0,1$ мм допуск, який виконується на даному переході

$$\varepsilon_{\text{доп}} = 0,2 - 0,06 = 0,14 \text{ мм.}$$

Загальна похибка пристрою

$$\varepsilon_{\text{пр}} = \sqrt{\varepsilon_{\delta}^2 + \varepsilon_3^2 + \varepsilon_{\text{пз}}^2}, \quad (3.7)$$

де $\varepsilon_{\delta}=0,01$ – похибка базування у призмі; $\varepsilon_3=0,01$ - похибка закріплення.

$$\varepsilon_{\text{пз}} = \sqrt{\varepsilon_{\text{орг}}^2 + \varepsilon_{\text{зн}}^2 + \varepsilon_{\text{ор.верс}}^2} = \sqrt{0,02^2 + 0,005^2} = 0,0206 \text{ мм}$$

$$\varepsilon_{\text{пр}} = \sqrt{0,01^2 + 0,01^2 + 0,0206^2} = 0,023 \text{ мм}$$

$$\varepsilon_{\text{доп}} > \varepsilon_{\text{пр}} \text{ тобто } 0,14 > 0,023 \text{ мм}$$

Точність оброблення забезпечена.

2.1.7. Принцип роботи пристрою

Пристрій складається з корпусу на якому розміщено пневмопривод, який з'єднується із затисками важільними системами – це базовий агрегат. На корпусі розміщені базові елементи: пластина та призма, а також кондукторна плита із втулкою. Деталь встановлюється на опорну пластину до упору в призму, при ході у вправо поршня затиск притискує заготовку до призми. Проводиться обробка. При ході поршня вліво розтискається заготовка, її замінюють на нову.

									Арк.
Змн.	Арк.	№ докум.	Підпис	Дата					

2.2. Розрахунок контрольного пристрою

2.2.1. Розробка схеми вимірювання

Згідно технічних вимог до виготовлення деталі необхідно контролювати паралельність поверхні пазу до вісі. Схема контролю показана на рис. 2.3.

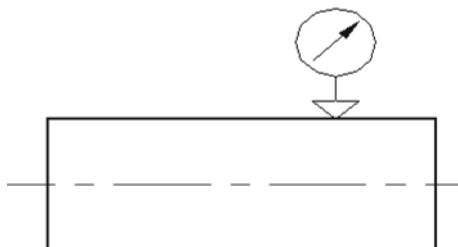


Рисунок 2.3 - Схема контролю

Деталь встановлюється у призму, щуп вводиться у паз та притискається до поверхні пазу. Потім проводиться переміщення деталі вздовж осі та знімаються показання.

2.2.2. Розрахунок пристрою на точність

Визначаємо допустиму похибку обробки:

$$\varepsilon_{\text{доп}} = 0,3 \cdot T, \quad (2.17)$$

де T -допуск на контролюємий параметр, $T = 0,4$ мм.

$$\varepsilon_{\text{доп}} = 0,3 \cdot 0,4 = 0,12 \text{ мм.}$$

Визначаємо фактичну похибку обробки:

$$\varepsilon_{\phi} = \sqrt{\varepsilon_{\text{б}}^2 + \varepsilon_{\text{пр}}^2 + \varepsilon_{\text{прил}}^2 + \varepsilon_{\text{зн}}^2}, \quad (2.18)$$

де $\varepsilon_{\text{б}}$ – похибка базування деталі, $\varepsilon_{\text{б}} = 0$ (технологічна база співпадає з конструкторською);

$\varepsilon_{\text{пр}}$ - похибка виготовлення пристрою, $\varepsilon_{\text{пр}} = 0,005$ мм;

$\varepsilon_{\text{зн}}$ - похибка зношення пристрою, $\varepsilon_{\text{зн}} = 0,005$ мм;

$\varepsilon_{\text{прил}}$ – похибка контрольно - вимірювального приладу:

$$\varepsilon_{\text{прил}} \approx \frac{\Delta}{2}, \quad (2.19)$$

									Арк.
Змн.	Арк.	№ докум.	Підпис	Дата					

де C – ціна поділки контрольно - вимірювального приладу.

Для контролю параметрів биття і співвісність вибираємо індикатор годинникового типу ИЧ02 ГОСТ 577 – 68, ціна поділки якого $C = 0,01$ мм.

$$\varepsilon_{\text{прил}} \approx \frac{0,01}{2} = 0,005 \text{ мм.}$$

$$\varepsilon_{\phi} = \sqrt{0,005^2 + 0,005^2 + 0,005^2} = 0,012 \text{ мм.}$$

Отже фактична похибка обробки не перевищує допустиму $\varepsilon_{\phi} < \varepsilon_{\text{дон}}$.

									Арк.
Змн.	Арк.	№ докум.	Підпис	Дата					

2.3.Розрахунок різального інструменту

Розрахунок та конструювання спірального свердла із швидкорізальної сталі Р6М5 з конічним хвостовиком для оброблення отвору $\varnothing 8$ мм

Визначаємо режим різання по нормативам:

Подачу вибираємо із табл.25, с.277[2]т.2.

$S=0.33..0.38$ мм/об, приймаємо $S=0.35$ мм/об

Розраховуємо швидкість різання

$$V = \frac{C_r \cdot D^2}{T^m \cdot S^7} \cdot K_r \quad (3.20)$$

де $K_r = K_{m_r} \cdot K_{u_r} \cdot K_{i_r}$

K_{m_r} - поправочний коефіцієнт, який враховує вплив фізико – механічних властивостей оброблюваного матеріалу

$$K_{m_r} = \left(\frac{150}{HB} \right)^{N_r}; N_r = 1.3 \text{ [2] табл.4, с. 262, т.2}$$

$$K_{m_r} = \left(\frac{150}{190} \right) = (0.79)^{1.3} = 0.74$$

K_{u_r} - коефіцієнт на ін струм. матер., $K_{u_r} = 1.0$

K_{i_r} - коефіцієнт, який врах. глиб. свердління

$K_{i_r} = 1.0$

C_r – коефіцієнт швидкості різання, $C_r = 25.3$

$T = 45$ хв. – стійкість свердла

$D = 8$ мм – діаметр свердла

Показники степені $g = 0.25$; $y = 0.40$; $m = 0.125$

Швидкість різання

$$V = \frac{25.3 \cdot 8^{0.25}}{45^{0.125} \cdot 0.35^{0.4}} \cdot 0.74 = 27.8 \text{ м/хв}$$

Осьова сила при свердлінні

$$P_x = 9.81 \cdot C_p \cdot D^{xp} \cdot S^{yp} \cdot K_{mp} \quad (3.21)$$

$$P_x = 9.81 \cdot 42.7 \cdot 8^1 \cdot 0.35^{0.8} \cdot 1 = 3617.2 \text{ Н}$$

						Арк.
Змн.	Арк.	№ докум.	Підпис	Дата		

Крутний момент при свердлінні

$$M_{кр} = 9.81 \cdot C_m \cdot D^g \cdot S^7 \cdot K_p \quad (3.22)$$

$$C_m = 0.021; g = 2; y = 0.8; K_p = \left(\frac{HB}{90}\right)^4 = \left(\frac{190}{90}\right)^{0.12} = 1;$$

$$M_{кр} = 9.81 \cdot 0.021 \cdot 8^2 \cdot 0.35^{0.8} \cdot 1 = 35.6 \text{ Н} \cdot \text{м}$$

Визначаємо номер конуса Морзе хвостовика. Момент між хвостовиком і втулкою

$$M_{тр} = \frac{M \cdot P_x (D_1 + d_2)}{4 \cdot \sin \Theta} (1 - 0.4 \Delta \Theta) \quad (3.23)$$

Прирівнюємо момент тертя до максимального моменту сил опору різання ($M_{кр}$), тобто до моменту який виникає при роботі затупленим свердлом, який збільшується до 3^х раз в порівнянні з моментом, прийнятим для нормальної роботи свердла.

$$\text{А значить } 3 M_{сп} = M_{тр} = \frac{M \cdot P_x (D_1 + d_2)}{4 \sin \Theta} (1 - 0.4 \Delta \Theta) \quad (3.24)$$

Середній діаметр конуса хвостовика

$$d_{сп} = \frac{D_1 + d_2}{2} \quad \text{або} \quad d_{сп} = \frac{6 M_{сп} \cdot \sin \Theta}{M \cdot P_x (1 - 0.4 \Delta \Theta)} \quad (3.25)$$

де $M_{сп} \approx M_{кр} = 35.6 \text{ Н} \cdot \text{м} (\approx 3560 \text{ кгс} \cdot \text{мм})$ – момент опору процесу різання;

$P_x = 3617.2 \text{ Н} (\approx 361,7 \text{ кгс})$ – осьова сила;

$M = 0,096$ – коефіцієнт тертя сталі по сталі;

$\Theta = 1^{\circ} 26' 16''$ – половина кута конуса;

$\Delta \Theta = 5'$ – відхилення кута конуса

$$d_{сп} = \frac{6 \cdot 3560 \cdot 0.0253}{0.096 \cdot 361.7 (1 - 0.2)} = 19.47 \text{ мм}$$

По СТСЭВ147-75 вибираємо найближчий більший конус, тобто конус Морзе №3 з лапкою та слідуючи ми конструктивними розмірами:

$D_1 = 24,1 \text{ мм}; d_2 = 19,1 \text{ мм}; L_4 = 99 \text{ мм}$

						Арк.
Змн.	Арк.	№ докум.	Підпис	Дата		

Останні розміри вибрали із табл.62 [2] стор.154 і вказали на креслення:

$D=23,825\text{мм}$	$L_{3\text{max}}=94.0\text{мм}$	$c=13.0\text{мм}$
$D_1=24,1\text{мм}$	$L_{4\text{max}}=99.0\text{мм}$	$e=20\text{мм}$
d_2 $=9.1\text{мм}$	$a=5.0\text{мм}$	$R=7\text{мм}$
$d_{3\text{max}}=18.5\text{мм}$	$b_{h13}=7.9\text{мм}$	$R_1=2\text{мм}$
		$V=0.065$

Визначаємо довжину свердла. Загальна довжина свердла L ; довжини робочої частини L_0 ; хвостовика і шийки L_2 можуть бути прийняті по ГОСТ 10903-77 чи ГОСТ 4010-77;

$$L = 280\text{мм}; L_0 = 170\text{мм}; L_2 = 113\text{мм}; d_1 = D_1 - 1.0 \approx 23\text{мм}$$

Визначаємо геометричні і конструктивні параметри ріжучої частини свердла. По нормативам [2] с.151 знаходимо форму заточки ДП (подвійна з під точкою перемички).

Кут нахилу гвинтової канавки $W=30^\circ$. кути між ріжучими кромками: $2\alpha=118^\circ$; $2\alpha_0=70^\circ$. задній кут $\lambda=11^\circ$. кут нахилу поперечної кромки $\Psi=55^\circ$. Розміри підточки: $A=2.5\text{мм}$; $L=5\text{мм}$. Крок гвинтової канавки

$$H = \frac{PD}{\text{tg}\omega} = \frac{3.14 \cdot 20}{\text{tg}30^\circ} = \frac{3.14 \cdot 20}{0.58} = 108.3$$

Товщину $-d_c$ -серцевини свердла в залежності від діаметра свердла вибирають в наступних границях.

Приймаємо товщину серцевини у попереднього кінця свердла рівною

$$d_c = 0,15D = 0,15 \cdot 15 = 2,25\text{мм}.$$

Потовщення серцевини по напрямку до хвостовика 1,4...1,8мм на 100мм довжини робочої частини свердла. Приймаємо це потовщення 1,5мм.

Обернена конусність свердла (зменшення діаметра по напрямку до хвостовика) на 100мм довжини робочої частини приймаємо 0,08мм. Ширина стрічки $f_0=1,6$, а висоту затилка $K=0,7\text{мм}$

									Арк.
Змн.	Арк.	№ докум.	Підпис	Дата					

Ширина пера $V=0,58D=0,58 \cdot 13,2=7,65$ мм.

Геометричні елементи профілю фрези для фрезерування канавки свердла визначають графічним чи аналітичним способом.

Великий радіус профілю

$$R_0 = Cr \cdot Cx \cdot Ca \cdot D_3 \quad (3.26)$$

$$\text{де } Cr = \frac{0.026 \cdot 24^3 \sqrt{24}}{\omega} = \frac{0.026 \cdot 118^3 \sqrt{118}}{30} = 0.493$$

$$Cr = \left(\frac{0.14D}{dc}\right)^{0.044} = \left(\frac{0.14 \cdot 20}{19.47}\right)^{0.044} = 0.918 \quad C\phi = \left(\frac{13\sqrt{D}}{D\phi}\right)^{0.9} \quad (3.27)$$

При $D\phi = 13\sqrt{D}$ - $C\phi = 1$, а значить

$$K_0 = 0,493 \cdot 0,918 \cdot 13,2 = 7,05 \text{ мм}$$

Менший радіус профіля $Rk = Ck \cdot D$;

$$\text{де } Ck = 0.015 \cdot \omega^{0.75} = 0.015 \cdot 30^{0.75} = 0.192$$

$$\text{тоді } Rk = 0.192 \cdot 13,2 = 2.84.$$

Ширина профілю $V = R_0 + R_k = 7.05 + 2.84 = 9.89$ мм.

Граничні відхилення діаметрів свердла (ГОСТ885-77) $D = 15h9(-0.052)$. Допуск на загальну довжину і довжину робочої частини свердла $(\pm \frac{IT14}{2})$

Кути $24 = 118 \pm 2^0$; $24_0 = 70^0 + 5^0$; $\omega = 30^0 - 2^0$. робоча частина свердла HRC62...65, у лапки хвостовика HRC30...45.

								Арк.
Змн.	Арк.	№ докум.	Підпис	Дата				

3. Дослідження напружено-деформованого стану свердла

Система SolidWorks Simylation є потужним засобом для розв'язку інженерних задач методом скінчених елементів. Дана система містить широкий діапазон різноманітних засобів для проведення інженерних розрахунків.

Основна ідея методу скінчених елементів полягає в тому, що будь-яку безперервну величину (переміщення, сила, тиск, температура і т. д.) можна апроксимувати моделлю, складеною з окремих елементів (ділянок). На кожному з цих елементів досліджується безперервна величина апроксимується частково-безперервною функцією, яка будується за значеннями досліджуваної безперервної величини в скінченій кількості точок, що належать досліджуваному елементу.

Незалежно від того, яку задачу розв'язують в процесі скінчено-елементного аналізу в системі **SolidWorks Simylation** можна виділити три стадії даного процесу:

- Попередня (препроцесорна) підготовка
- Прикладання навантажень та отримання розв'язку
- Постпроцесорна обробка отриманих результатів

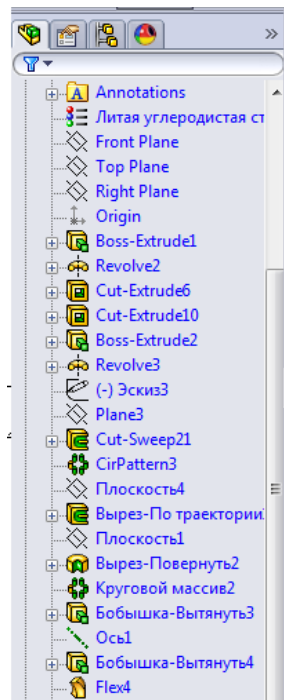
На стадії препроцесорної підготовки виконується вибір типу розрахунку та побудова геометричної моделі. Тут задаються усі необхідні для розв'язку задачі початкові дані: вибирається тип координатної системи, описуються фізико-механічні властивості матеріалів та будується твердотільна модель.

На другому етапі будується скінченноелементна сітка, виконуються необхідні дії над її вузлами та елементами, прикладаються навантаження, задаються граничні умови та розв'язується задача. Даний етап включає в себе задавання виду аналізу та його опцій, різного виду навантажень, кроку розв'язку і завершується запуском на розрахунок скінченноелементної задачі.

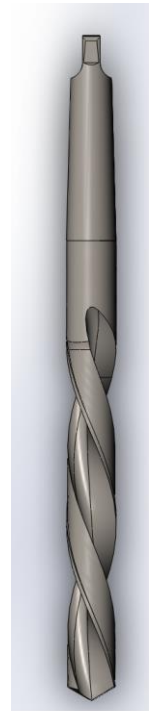
						Арк.
Змн.	Арк.	№ докум.	Підпис	Дата		

На постпроцесорній стадії можна звернутись до отриманих результатів та вивести їх необхідним чином. Наслідком роботи програми на постпроцесорній стадії є графічне та табличне представлення отриманих результатів – деформацій, сил, напружень як в окремих ділянках, так і їх розподіл по всій конструкції.

3.1 Побудова твердо тільної моделі свердла засобами SolidWorks і вибір матеріалу



а)



б)

Рисунок 3.1-а)дерево побудови; б)готова 3D- модель свердла.

3.2 Побудова скінченноелементної сітки

За допомогою генераторів сітки програма може наносити сітку на геометричну модель доволі складної форми автоматично. При цьому реалізується алгоритм розумного вибору розмірів (у разі потреби і типу) скінченого елемента з урахуванням кривини поверхні моделі. Можна також задавати загальний розмір елемента.

						Арк.
Змн.	Арк.	№ докум.	Підпис	Дата		

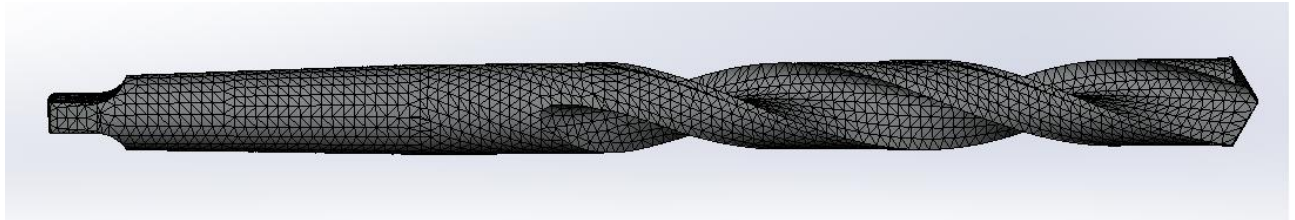


Рисунок 3.2 - Свердло з накладеною на нього скінченноелементною сіткою.

3.3 Прикладення сил і моментів навантаження та накладення зв'язків

Після побудови скінченноелементної сітки до моделі прикладаються навантаження. Під навантаженнями розуміють як внутрішні та зовнішні сили, так і граничні умови у вигляді обмежень на переміщення. В програмі навантаження поділені на такі категорії:

- обмеження ступенів вільності (обмеження на переміщення вузлів вздовж і їх поворотів навколо осей координат);
- зосереджені сили і моменти;
- поверхневі навантаження;
- об'ємні сили;
- інерційні навантаження.

Слід підкреслити, що мешування моделі (створення скінченноелементної сітки) і правильне її навантаження, передовсім стосовно розміщення і видів граничних умов, є найбільш відповідальним етапом у створенні адекватної моделі об'єкта, що досліджується.

Осьова сила прикладена до різальної кромки вздовж осі, тангенційну силу замінено крутним моментом, який старається «розкрутити» свердло.

Умовам закріплення і роботи осьового інструменту для обробки отворів свердлінням найточніше відповідає схема з шарнірним закріпленням хвостової частини.

									Арк.
Змн.	Арк.	№ докум.	Підпис	Дата					

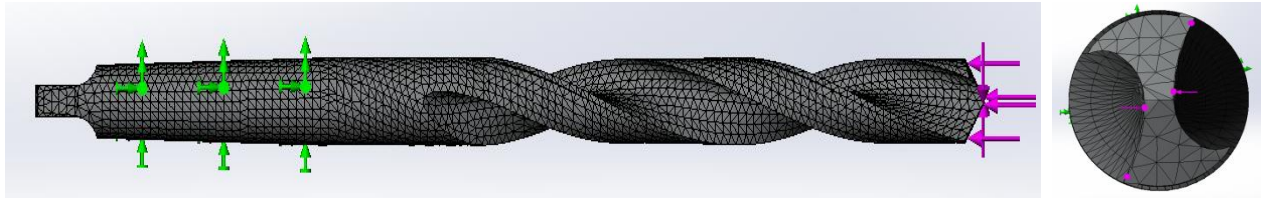


Рисунок 4.3 - Свердло закріплене та з накладеними на нього силами і моментами навантаження.

3.4 Розв'язок задачі аналізу

Після того, як задані всі необхідні параметри, можна виконувати і сам розв'язок. Виконуючи розв'язок програма звертається до бази даних за інформацією про модель та прикладені до неї навантаження, формує та розв'язує систему рівнянь (кількість яких у декілька разів перевищує кількість елементів моделі) і отримує результати для даного виду аналізу. Результати записуються в спеціальний файл та базу даних. В розрахунковому відношенні ця частина процесу є найбільш цікавою, проте не потребує втручання користувача. Вона потребує найбільших затрат комп'ютерного часу та мінімальних затрат часу користувача.

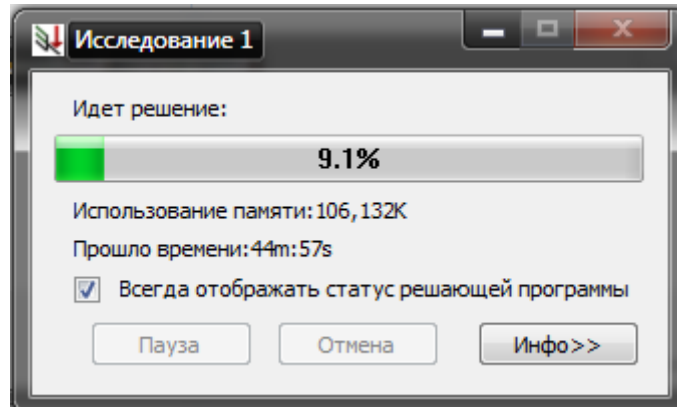


Рисунок 3.4 - Розв'язок задачі аналізу

3.5 Результати розрахунку

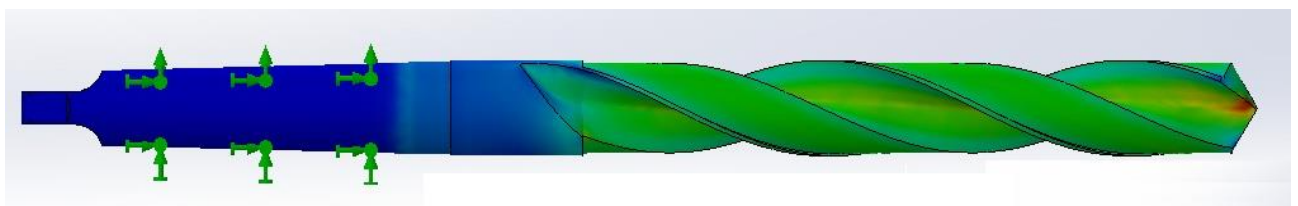


Рисунок 3.5 – Розподіл напружень за Мізесом.

									Арк.
Змн.	Арк.	№ докум.	Підпис	Дата					

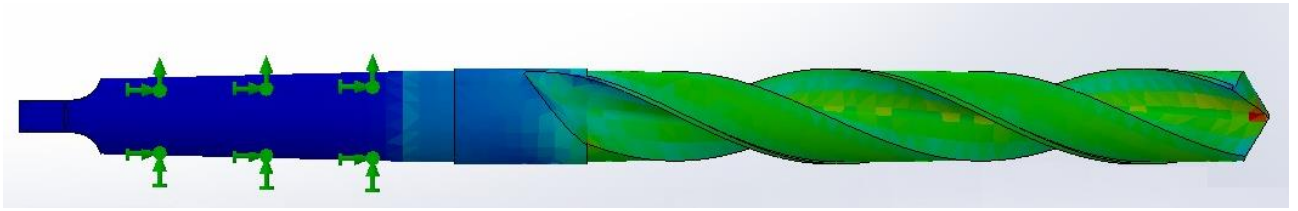


Рисунок 3.6 – Розподіл еквівалентних напружень.

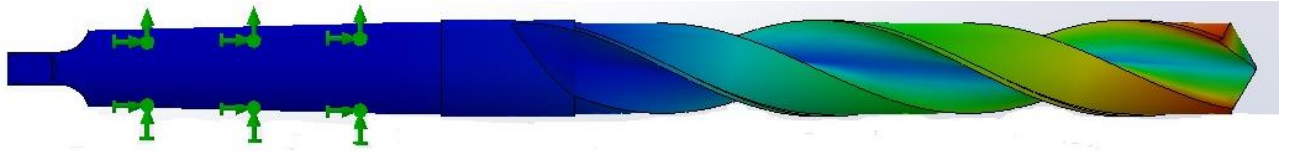


Рисунок 3.7 – Розподіл переміщень.

Висновки

Розглянута модель осьового інструменту дозволяє визначати силові параметри і напруження свердла. При цьому результати розрахунків за допомогою даної моделі практично співпадають з результатами математичного моделювання засобами опору матеріалів напружено-деформівних процесів у свердлі. Це дозволяє використовувати модель свердла на стадії проектування інструменту при прогнозуванні впливу геометричних параметрів свердла та режимів обробки на його напружено-деформівні характеристики.

З метою коригування умов та результатів розрахунків за допомогою параметричної моделі для досягнення їх адекватності експериментальним даним, необхідно провести низку досліджень у виробничих умовах, які дозволять отримати дані щодо впливу геометричних параметрів свердла та режимів обробки на напружено-деформівні процеси.

										Арк.
Змн.	Арк.	№ докум.	Підпис	Дата						

Список використаних джерел

- 1 П.І. Войтенко Методичні вказівки до виконання курсового проекту з дисципліни “Технологія машинобудування” для спеціальності 7.090202 – технологія машинобудування – Івано-Франківськ: Факел, 2000. – 77с.
- 2 Дипломне проектування. Методичні вказівки до виконання технологічної частини дипломного проекту спеціальності 1201 – технологія машинобудування. – Івано-Франківськ: ІФІНГ, 1990.–58с.
- 3 Справочник технолога-машиностроителя. В 2-х томах. Т.1 / Под ред. А.Г.Косиловой, Р.К.Мещерякова - М.: Машиностроение, 1985. - 656 с.
- 4 Справочник технолога-машиностроителя. В 2-х томах. Т.2 / Под ред. А.Г.Косиловой, Р.К.Мещерякова. - М.: Машиностроение, 1985. - 496 с.
- 5 Обработка металлов резанием : Справочник технолога. / Под общ. ред. А.А.Панова. - М.: Машиностроение, 1988. - 736 с.
- 6 Горбацевич А.Ф., Шкред В.А. Курсовое проектирование по технологии машиностроения. - Минск : Высшая школа, 1983. - 256 с.
- 7 Горошкин А.К. Приспособления для металлорежущих станков : Справочник. - М.: Машиностроение, 1979. - 303 с.
- 8 Руденко П.О. Проектування технологічних процесів у машинобудуванні : Навчальний посібник. - К.: Вища школа, 1993. - 414 с.
- 9 Анурьев В.И. Справочник конструктора-машиностроителя М.: : Машиностроение, 1982. - Т.1 - 736 с., Т.2 - 559 с.
- 10 Руденко П.А. и др. Проектирование и производство заготовок в машиностроении. - К.: Вища школа, 1991. - 247 с.
- 11 Режимы резания металлов : Справочник / Под ред. Ю.В.Барановского. - М.: Машиностроение, 1972. -408 с.
- 12 Нефедов Н.А. Дипломное проектирование в машиностроительных техникумах : Учебное пособие -М.: Машиностроение, 1986. - 239 с.
- 13 Нефедов Н.А., Осипов К.А. Сборник задач и примеров по резанию металлов и режущему инструменту. - М.: Машиностроение, 1986.— 239 с.
- 14 ГОСТ 7505-80. Поковки стальные штампованные. Допуски, припуски и кузнечные напуски.
- 15 Проектування оснастки. Методичні вказівки до виконання розрахункових та контрольних робіт для студентів усіх форм навчання спеціальності 7.090202 – технологія машинобудування. – Івано-Франківськ: ІФДТУНГ, 2000. – 110 с.
- 16 Общемашинностроительные нормативы режимов резания. М.: Машиностроение, 1974. - Ч.І - 416 с. - Ч.ІІ - 200 с.

						Арк.
Змн.	Арк.	№ докум.	Підпис	Дата		

17 Общемашиностроительные нормативы вспомогательного и подготовительно-заключительного времени для технического нормирования : Серийное производство. -М.: Машиностроение, 1984. -421 с.

18 Каплунов Р.С. Контроль качества деталей типовых групп. М.: Машиностроение, 1977. – 237 с.

19 Каплунов Р.С. Точность контрольных приспособлений. М.: Машиностроение, 1968. – 219 с.

20. Обработка металлов резанием. Справочник технолога. Изд. 3-е. под ред. Г.А. Монахова. М.:, Машиностроение, 598с. 1974г.

									Арк.
Змн.	Арк.	№ докум.	Підпис	Дата					

Дубл.			
Взам.			
Оригінал			
	Інв. №	Підпис	Дата

Зм.	Лист	№ докум.	Підпис	Дата

ІФНТУНГ

“УЗГОДЖЕНО”

“ЗАТВЕРДЖУЮ”

Комплект технологічної документації

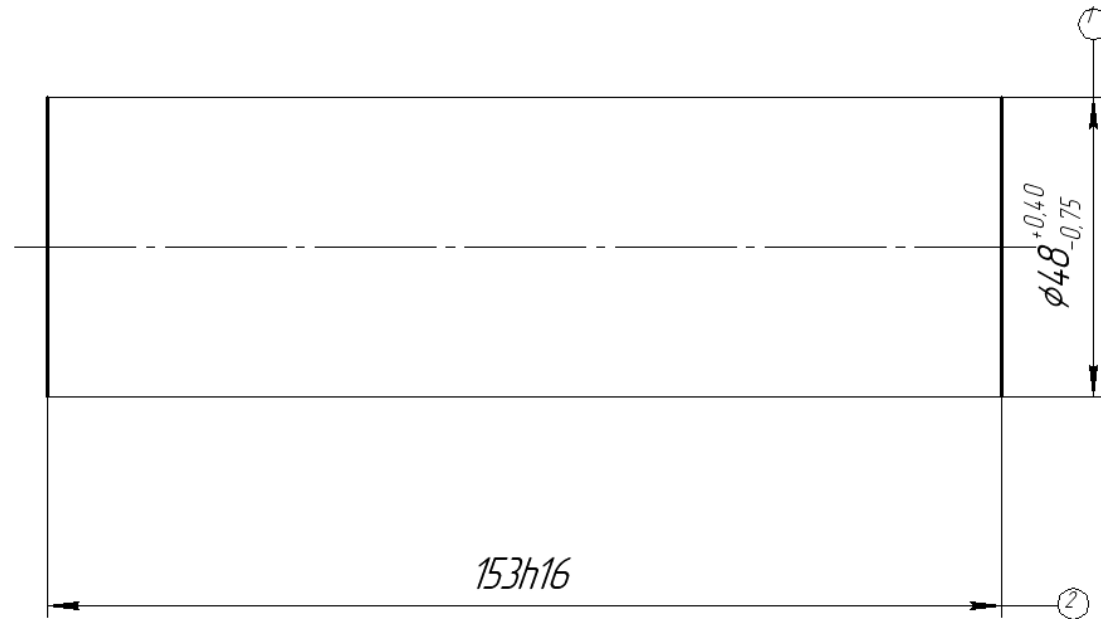
Технологічний процес механічної обробки

Розробив: _____

Перевірив: _____

Дубл.			
Взам.			
Підп.			

						6	1	
Розроб.				<i>ІФНТУНГ</i>	<i>АКПН 324.021</i>			
Перевірив								
Погод.								
Н. контр.				<i>Вісь культиватора</i>				
Затв.							<i>005</i>	



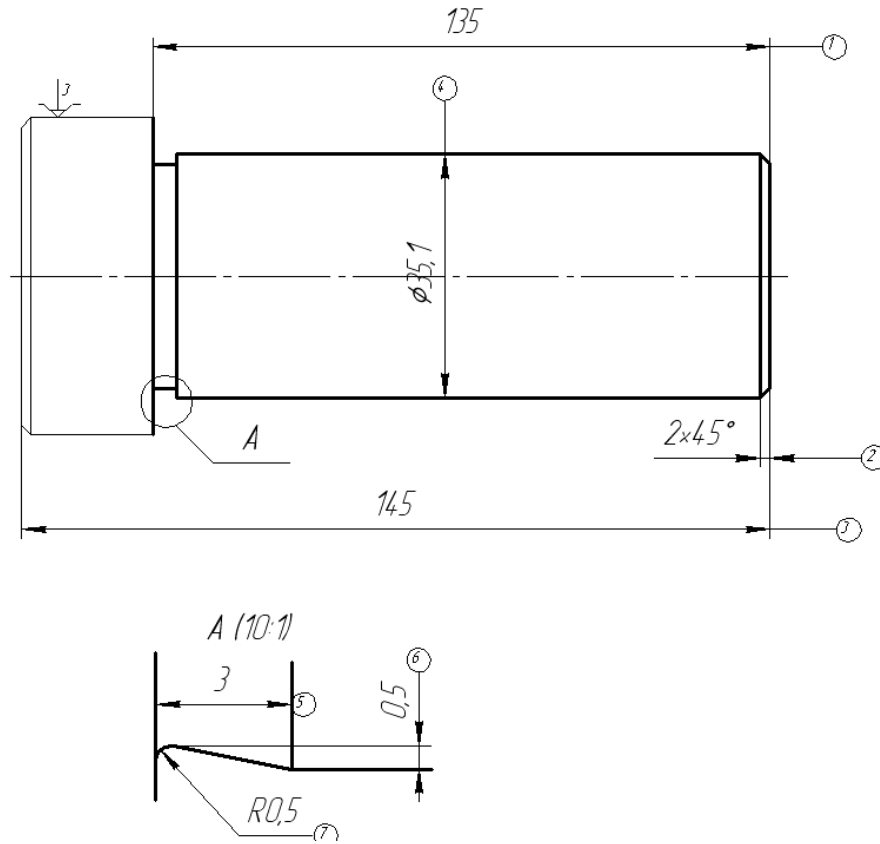
КЕ

Механічної обробки

Дубл.			
Взам.			
Підп.			

--	--	--	--	--	--	--	--	--	--

								6	1
Розроб.				ІФНТУНГ	АКПН 324.021				
Перевірив									
Погод.									
Н. контр.				Вісь культиватора					
Затв.									
									015



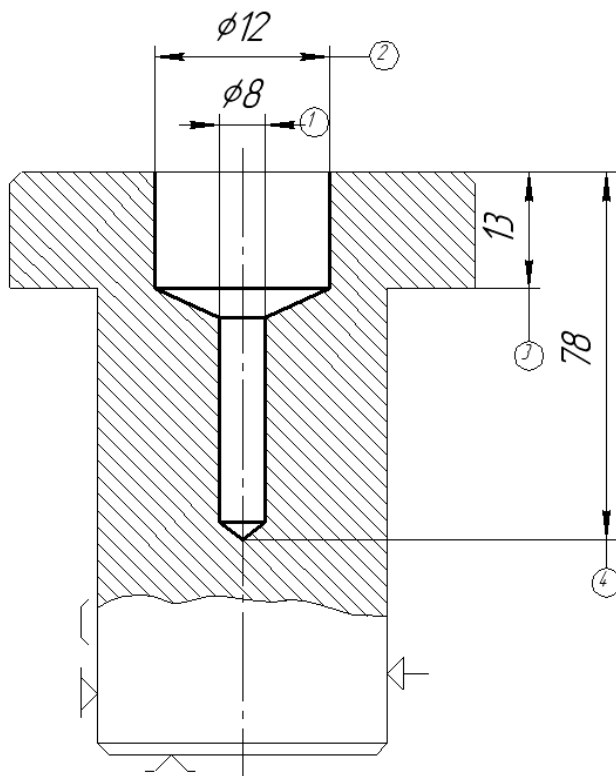
КЕ

Механічної обробки

Дубл.			
Взам.			
Підп.			

--	--	--	--	--	--

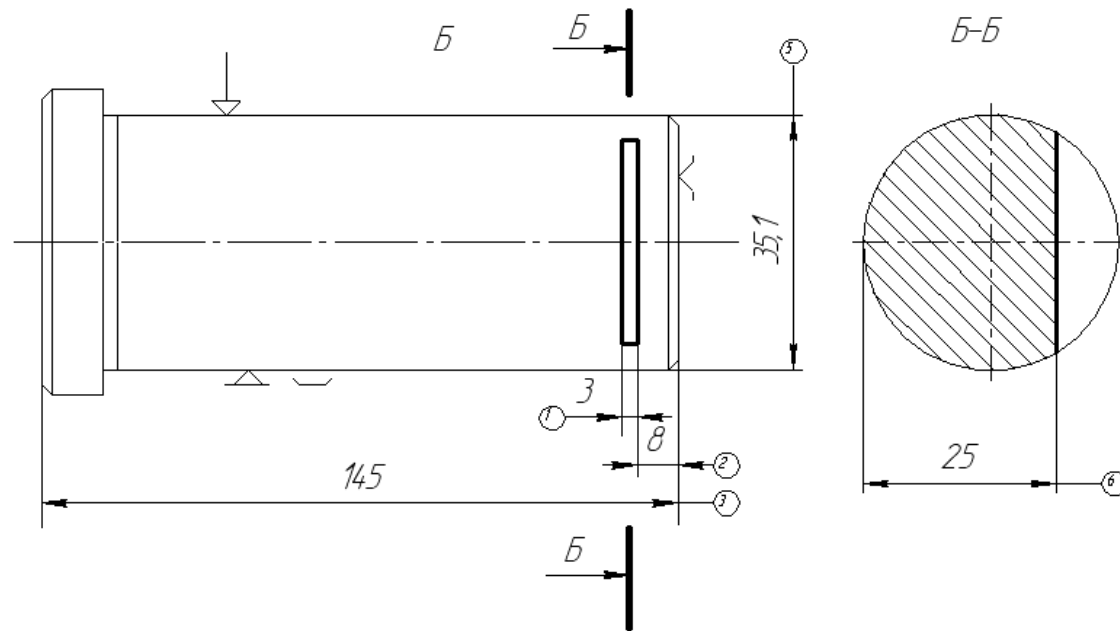
						6	1	
Розроб.				<i>ІФНТУНГ</i>	<i>АКПН 324.021</i>			
Перевірив								
Погод.								
Н. контр.				<i>Вісь культиватора</i>				
Затв.								020



КЕ

Механічної обробки

Дубл.																				
Взам.																				
Підп.																				
																6	1			
Розроб.					ІФНТУНГ	АКПН 324.021														
Перевірив																				
Погод.																				
Н. контр.					Вісь культиватора													025		
Затв.																				



КЕ

Механічної обробки

Дубл.			
Взам.			
Підп.			

--	--	--	--	--	--

6

1

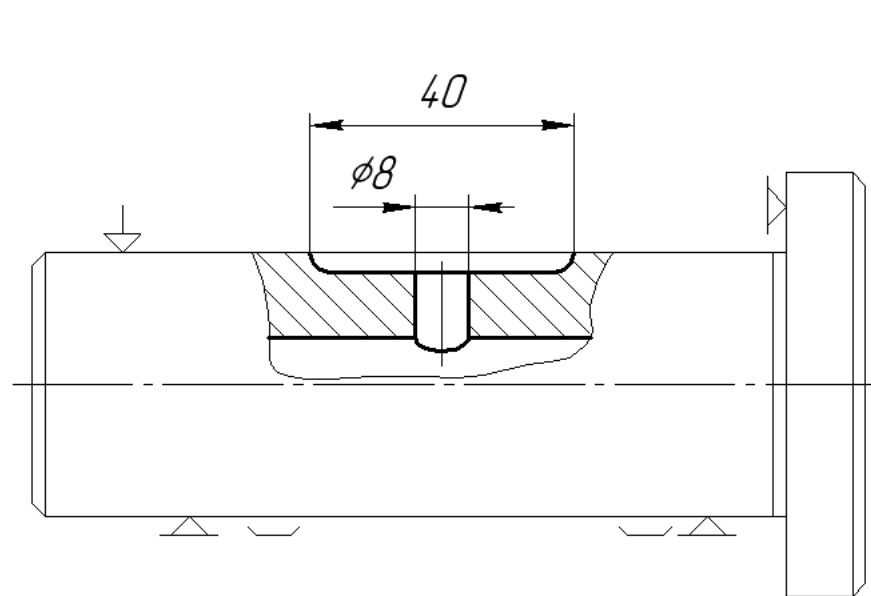
Розроб.			
Перевірив			
Погод.			
Н. контр.			
Затв.			

ІФНТУНГ

АКПН 324.021

Вісь культиватора

030



6.3

КЕ

Механічної обробки

Дубл.			
Взам.			
Підп.			

6

1

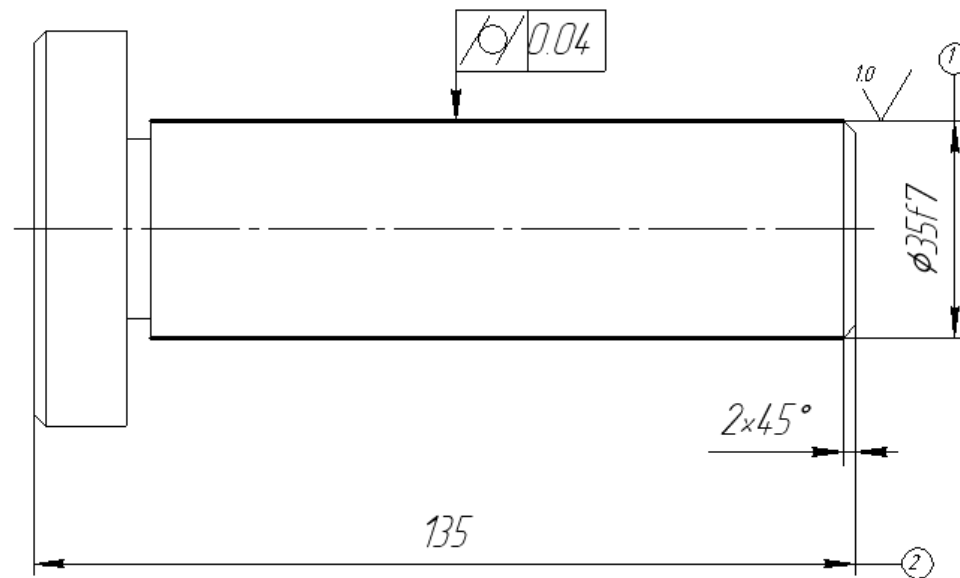
Розроб.			
Перевірив			
Погод.			
Н. контр.			
Затв.			

ІФНТУНГ

АКПН 324.021

Вісь культиватора

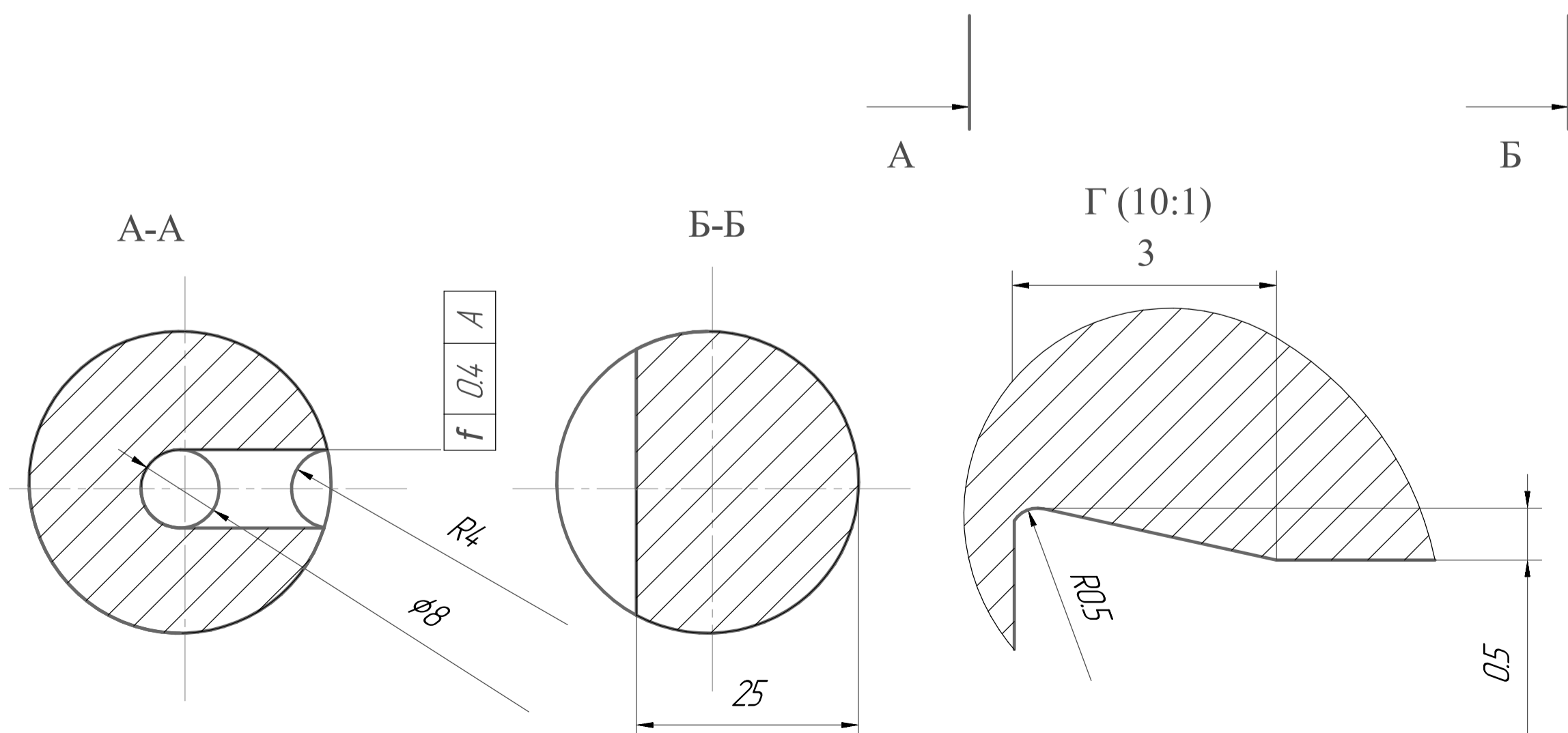
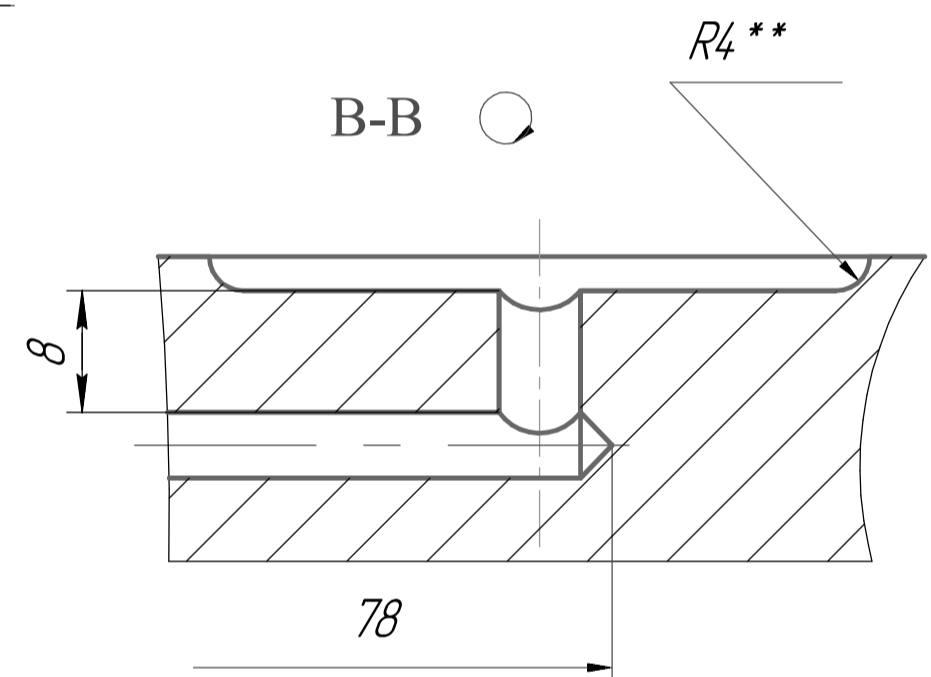
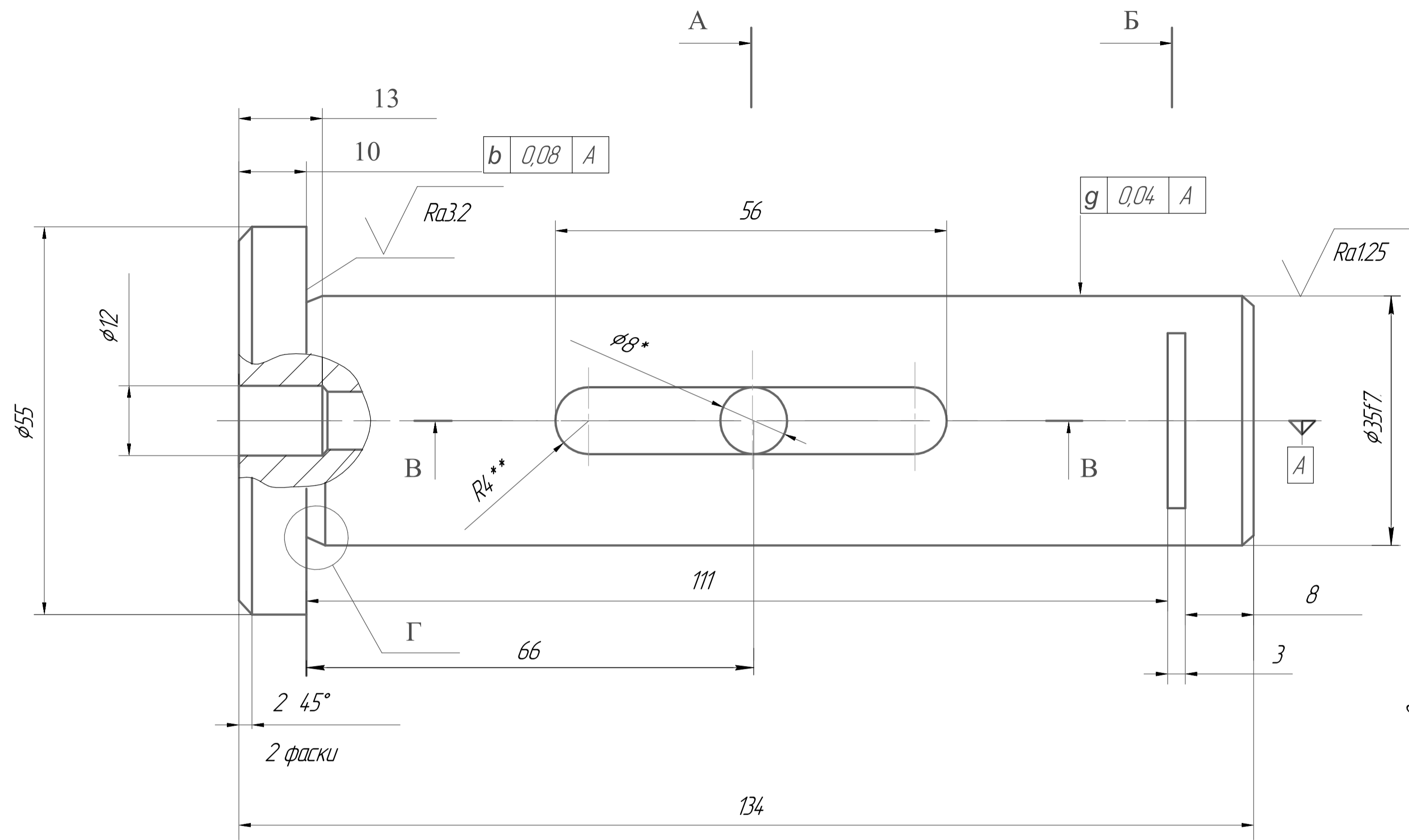
035



КЕ

Механічної обробки

$\sqrt{Ra\ 6.3}$



- * Розміри для довідок
- ** Розміри забезпечуються інструментом
- 183...252HB
- H14, h14, $\pm 1t/2$

Перб. примен.	
Спроб. №	
Взам. инв. №	Инв. № д/д/д
Подп. и дата	
Инв. № подл.	

Изм.	Лист	№ докум.	Подп.	Дата	Вісь культиватора АКПН 324.021		
Разраб.					Лит.	Масса	Масштаб
Проб.						-	1:1
Т.контр.					Лист	Листов	1
Н.контр.					Сталь 45 ГОСТ 1050-82		
Утв.					ІФНТУНГ		
					Копировал		
					Формат А2		

√ Ra 120 (√)



1. 183...252 HB
2. Після порізки зачистити заусенці
3. Матеріал сталь 45 ГОСТ 1050-82

Спроб. №

Перб. примен.

№№ подл.

Взам. инв. №

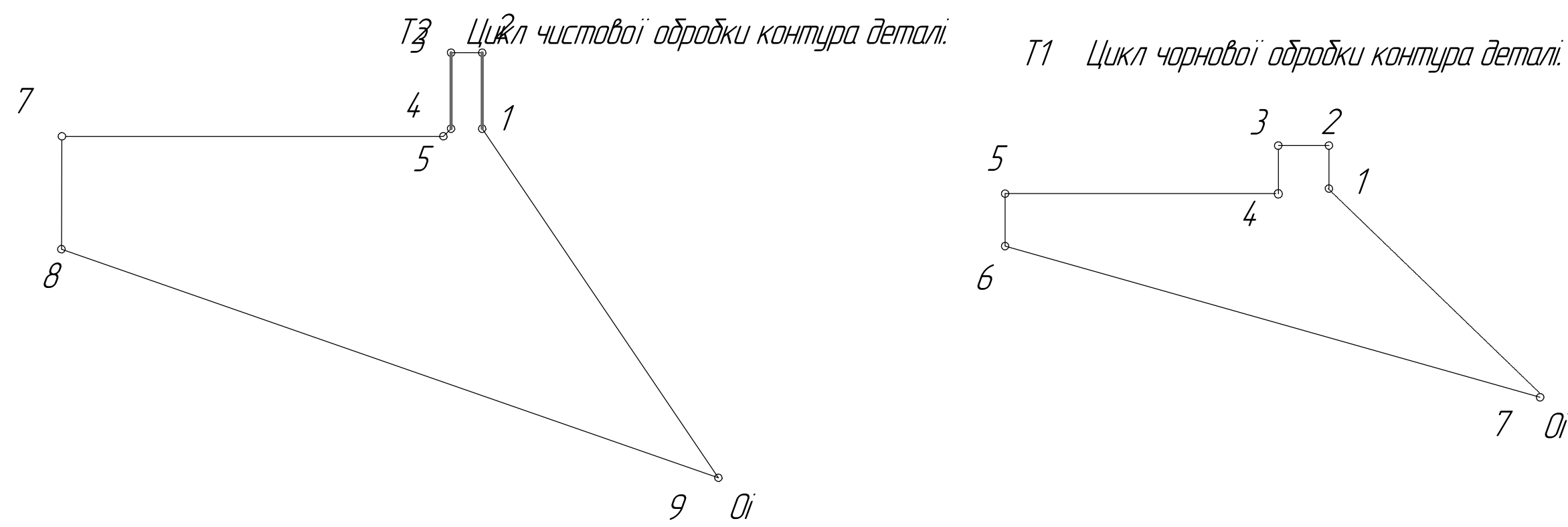
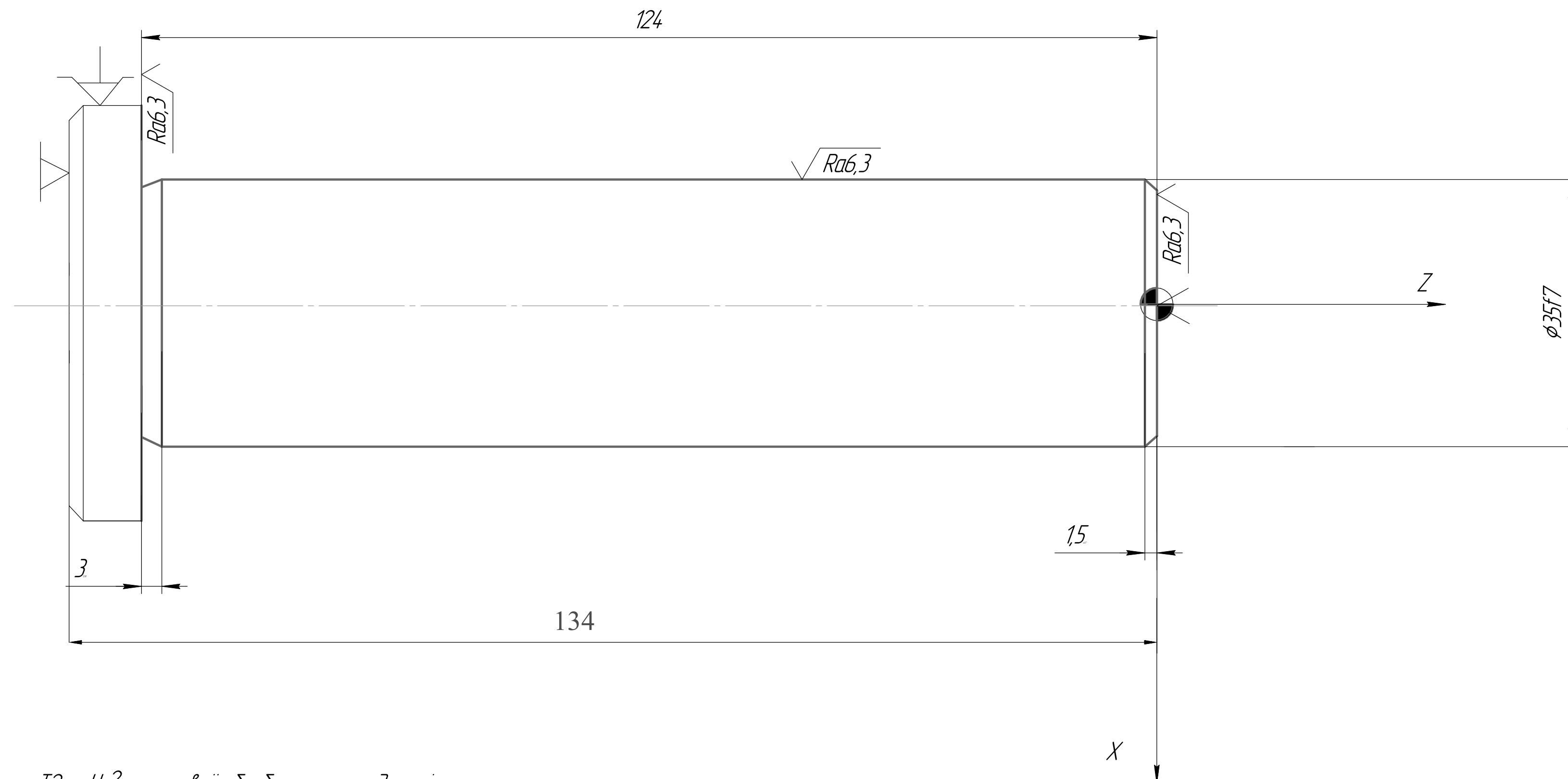
Инв. № д/дл.

Подп. и дата

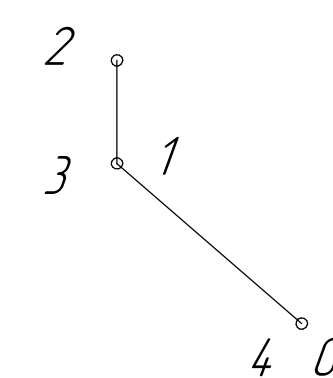
Изм.	Лист	№ докум.	Подп.	Дата	Заготовка (Вісь культиватора АКПН 324.021)	Лист	Масса	Масштаб
Разраб.								1:1
Проб.						Лист	Листов	1
Т.контр.								
Н.контр.					Сталь 45 ГОСТ 1050-82	ІФНТУНГ		
Утв.					Копировал	Формат А2		

015 Токарна з ЧПК

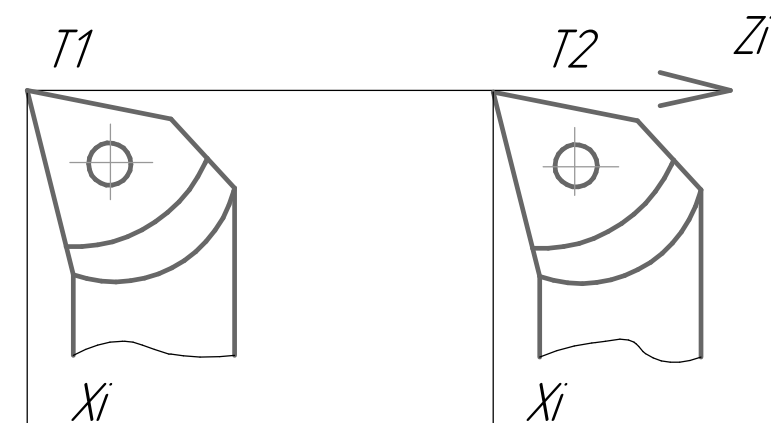
- 1.Точити контур начарно, витримуючи розміри
- 2.Точити контур начисто, витримуючи розміри
- 3.Точити фаску
- 4.Точити канавку, витримуючи розмір



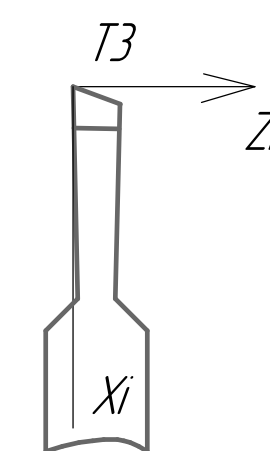
L02
T3 Цикл обробки канавки.



Різець токарний контурний
з пластиною з твердого сплаву
T15K6 ГОСТ 18879-73
Чорновий(R0.5) Чистовий(R1.0)



Різець токарний канавочний
з пластиною з твердого сплаву
T15K6 ГОСТ 18881-73.



Номер операції	Найменування операції	
015	Токарна з ЧПК	
Обладнання	Верстат	16K20Ф3
	Система ЧПУ	2P22
	Пристрій	Спецпристрій патрон механізований

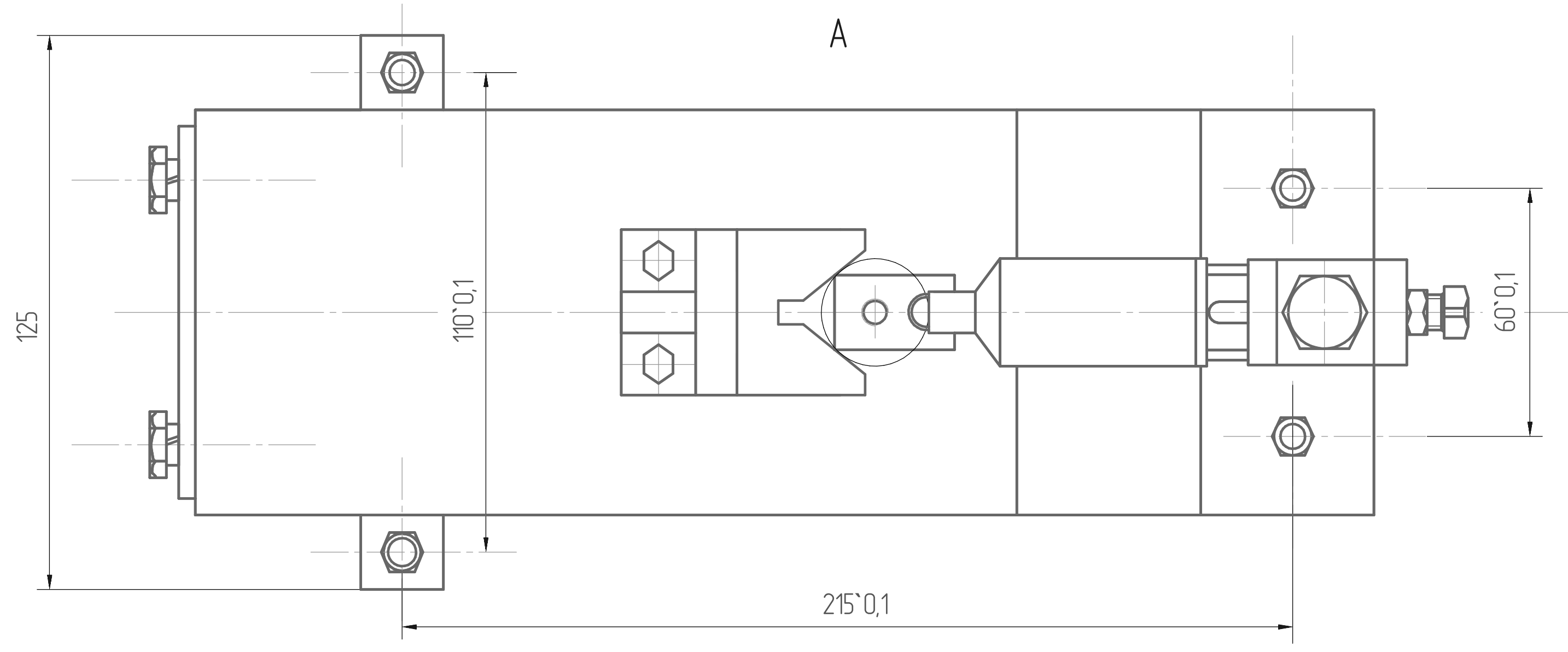
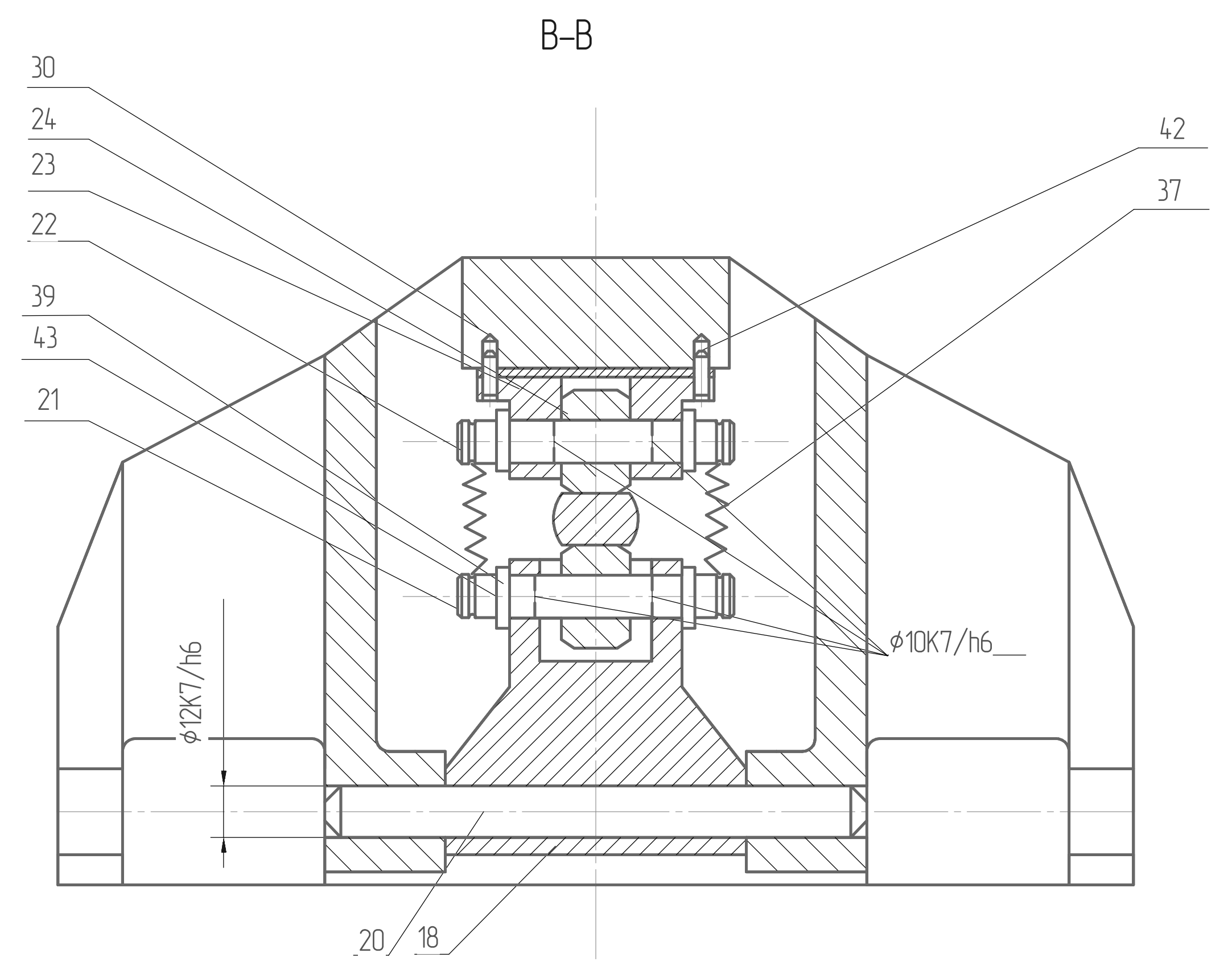
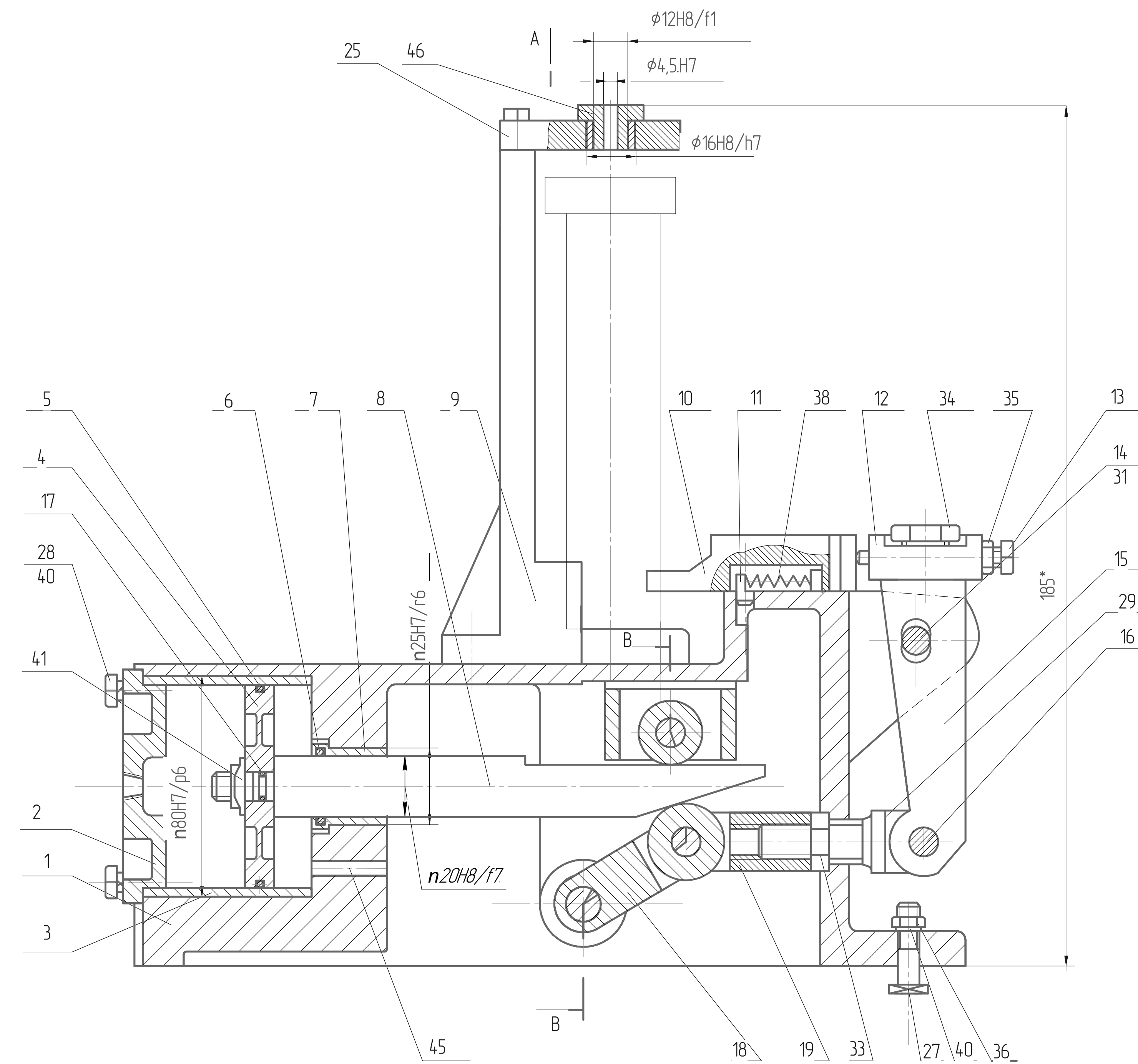
Інструмент	Розміри		ГОСТ
	L	l	
Різець токарний контурний	200	20	ГОСТ 18879-73
Різець токарний контурний	200	20	ГОСТ 18879-73
Різець канавочний	200	20	ГОСТ 17274-71

Перехід	Інструм	Зміст переходу	Режими різання				
			f, мм	S, мм/об	V, м/хв	n, об/хв	Tm, хв
1	1	Точити контур начарно	1	0,18	83	710	2,38
2	2	Точити контур начисто, точити фаску	0,5	0,1	83	710	2,45
3	2	Точити канавку	1,5	0,25	83	710	0,1

Координати опорних точок

Перехід	N точ.	x	z	Перехід	N точ.	x	z
	2	0	-70,5	2	2	0	-70,5
	3	0	-70,5	3	3	0	-70,5
1	4	-70,5	0	2	4	-70,5	0
	5	-70,5	0		5	-70,5	0
	6	-70,5	0		6	-70,5	0
	7	0	70,5		7	0	70,5
	8	0	70,5		8	0	70,5
	9	0	70,5		9	0	70,5
3	1	0	70,5				
	2	70,5	0				
	3	70,5	0				
	4	70,5	0				

Взам. Лист	№ докум.	Подп.	Дата	Карта наладки	Лист	Масштаб	Масштаб
Разраб.					-		
Проб.					Лист	Листов	1
Т.контр.							
Н.контр.							
Утв.							



1. Зусилля затиску $P=7385N$
2. Тиск в мережі $Q=0,4...0,6MPa$
3. Деталь N23 свердлувати в зборі з корпусом

Взам. №	Лист	№ докум.	Подп.	Дата	Лист	Масштаб	Масштаб
Разраб.							1:1
Проб.					Лист	Листов	1
Т.контр.							
Н.контр.							
Утв.							

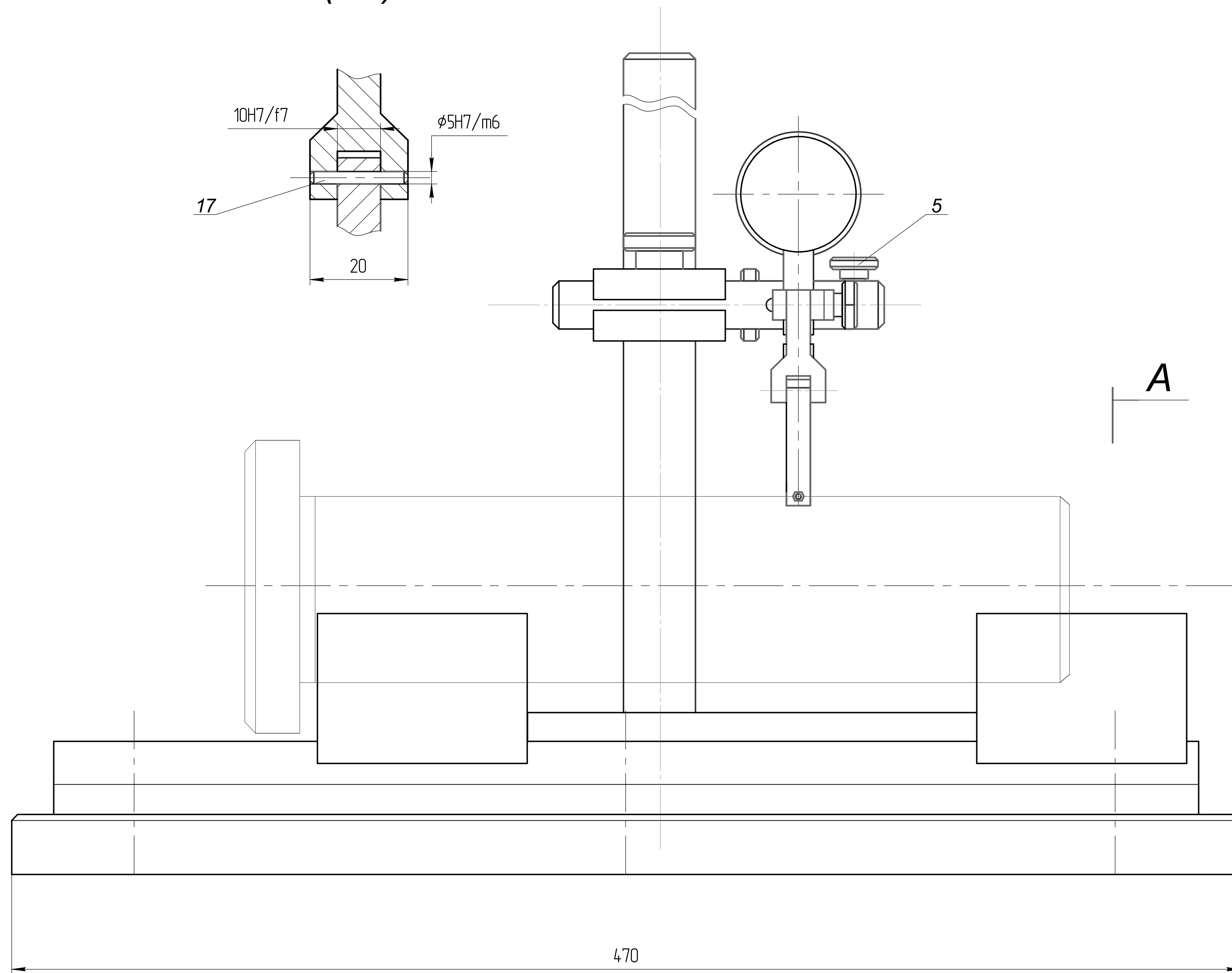
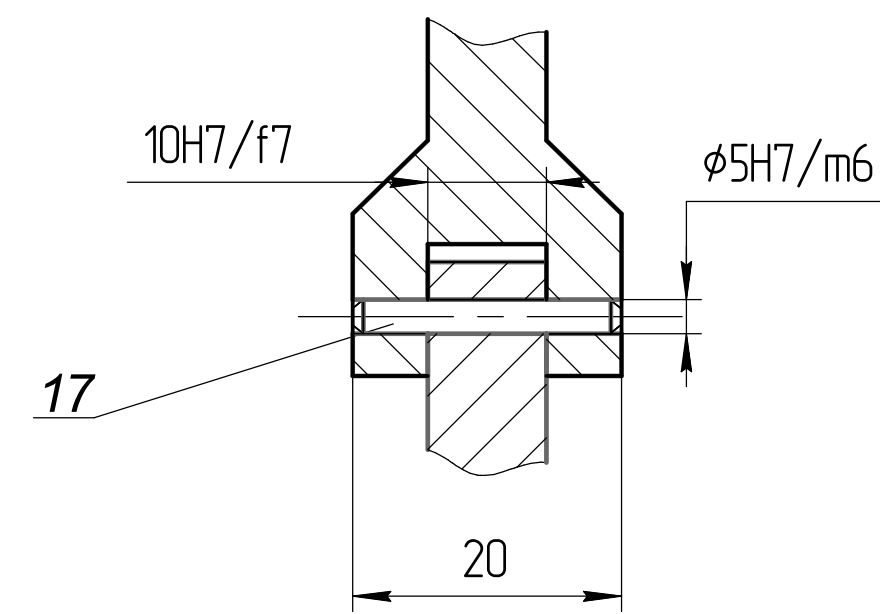
Присрій для свердління отвору

-

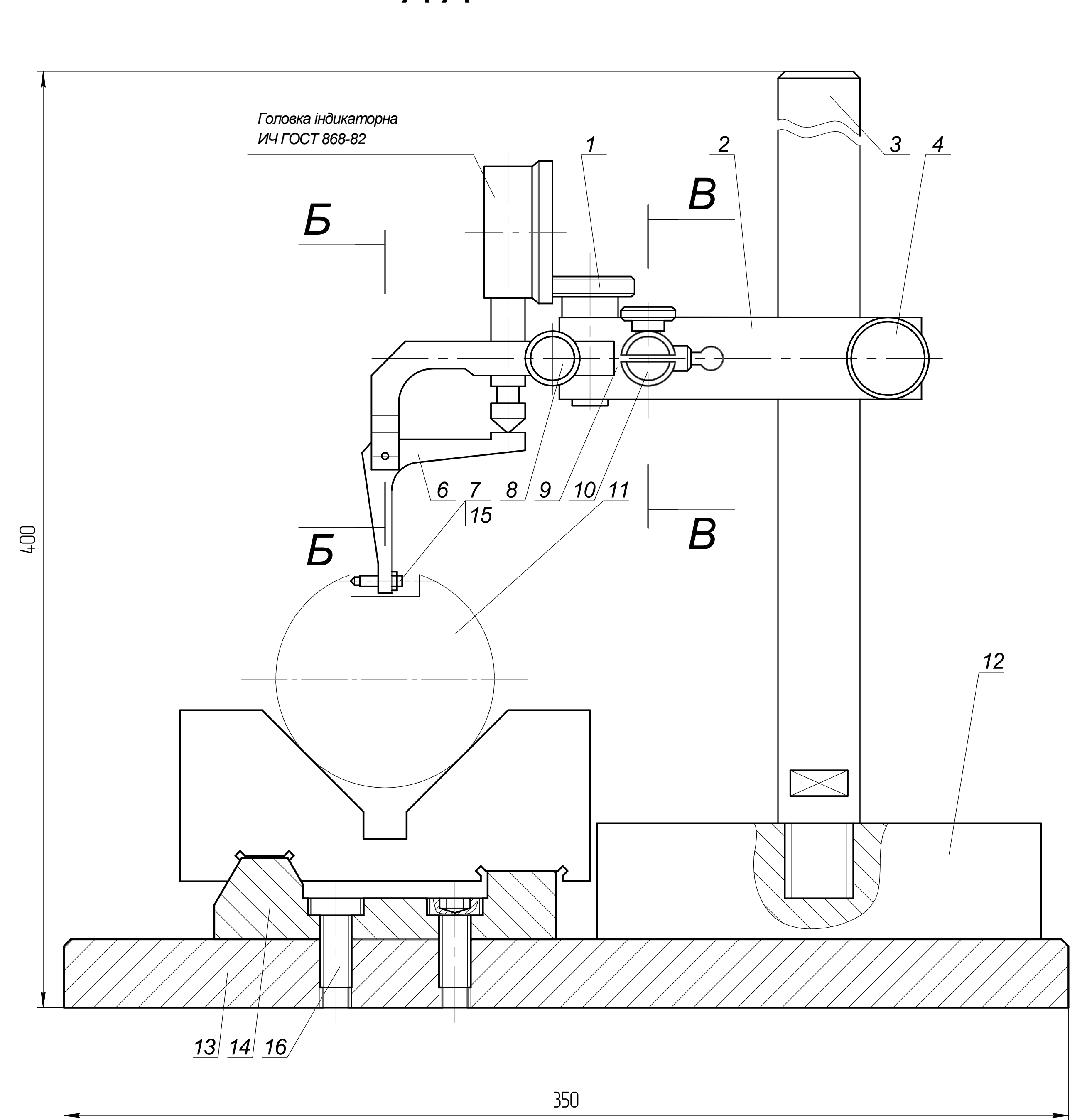
ІФНТУНГ

Формат А1

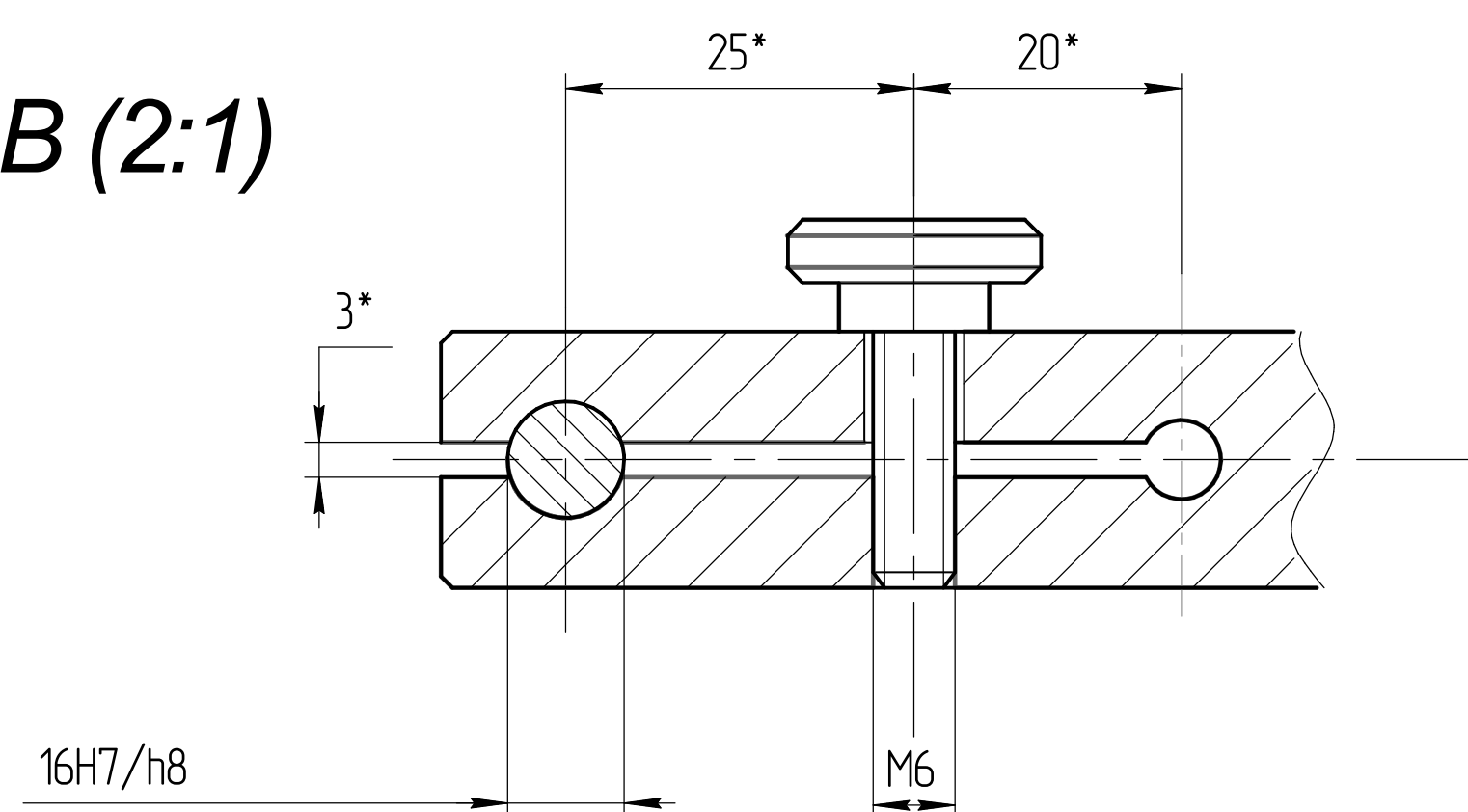
Б-Б (2:1)



A-A

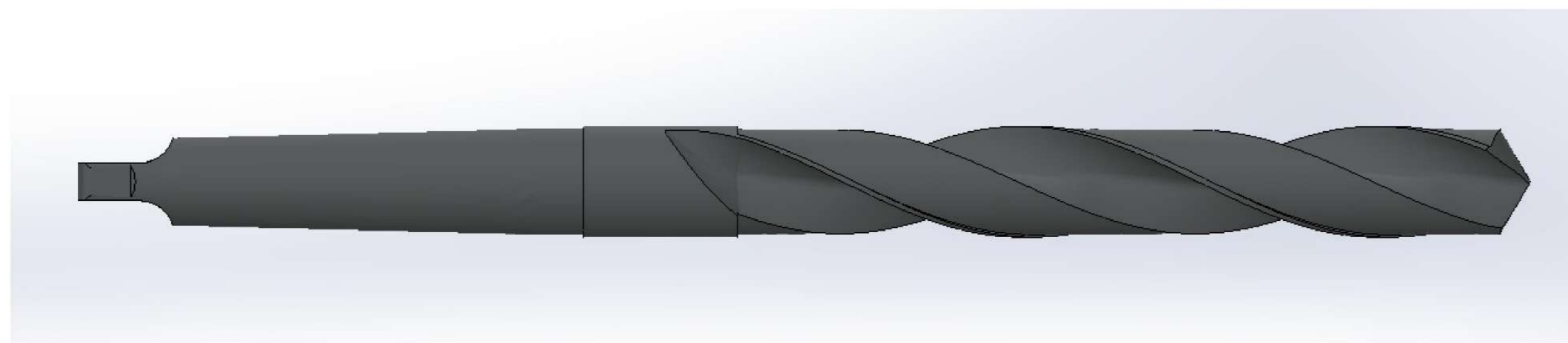


B-B (2:1)



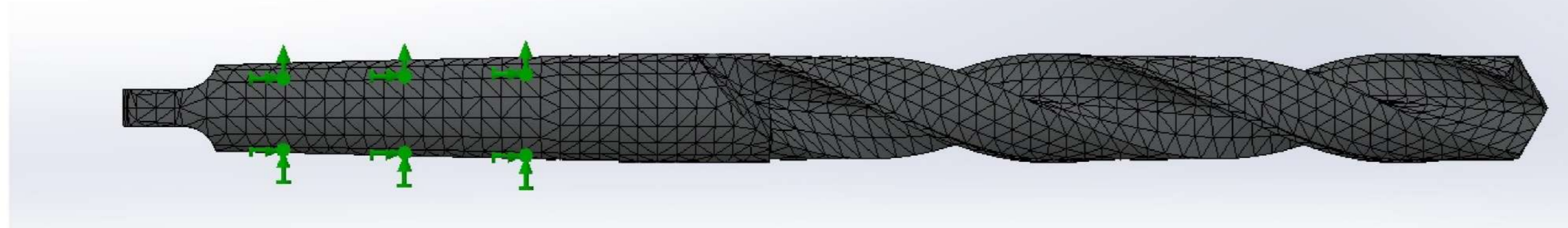
- 1*Разміри для довідок
- 2.Деталь поз.11 притерти до деталі поз.14.
- 3.Застосувати для контролю паралельності пазу до осі
- 4.Точність вимірювання 0,02 мкм.

Зм. Арк.	№ докум.	Підпис	Дата	Контрольний пристрій	Літ.	Маса	Мірло
Розроб.					н		1:2
Т.контр.					Аркуш	Аркуші 1	
Н.контр.							
Затв.							



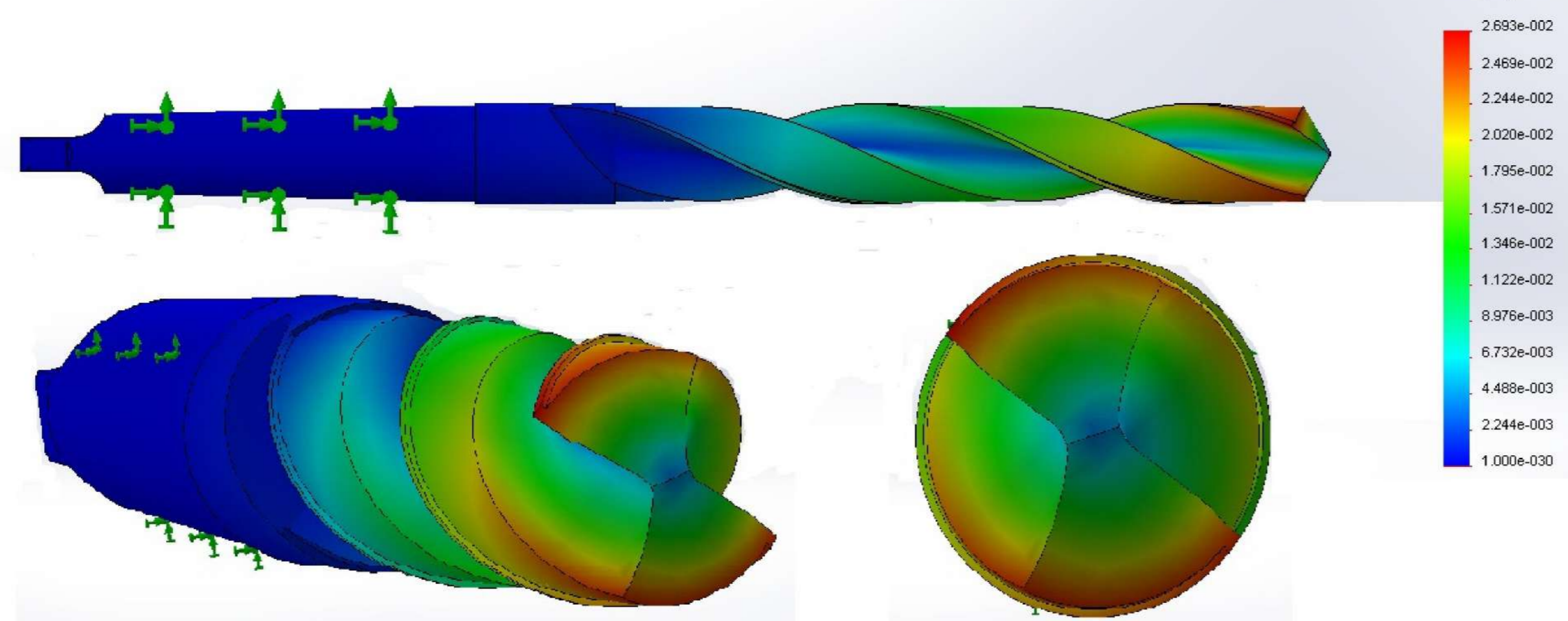
3D модель свердла

Имя модели: виты дрill
Имя исследования: Исследование 1
Тип сетки: Сетка на твердом теле



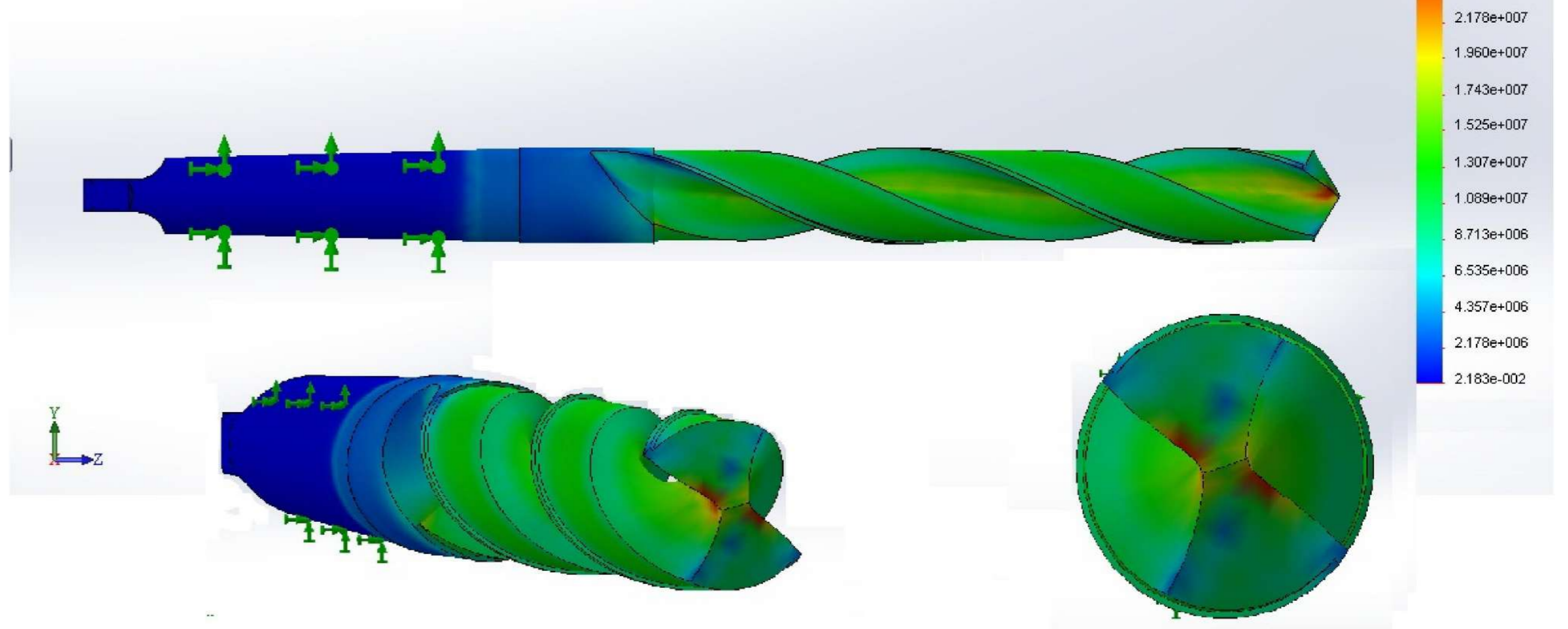
3D модель свердла з накладеною сіткою

Имя модели: виты дрill
Имя исследования: Исследование 1
Тип эпюры: Статическое перемещение Перемещение1
Шкала деформации: 1



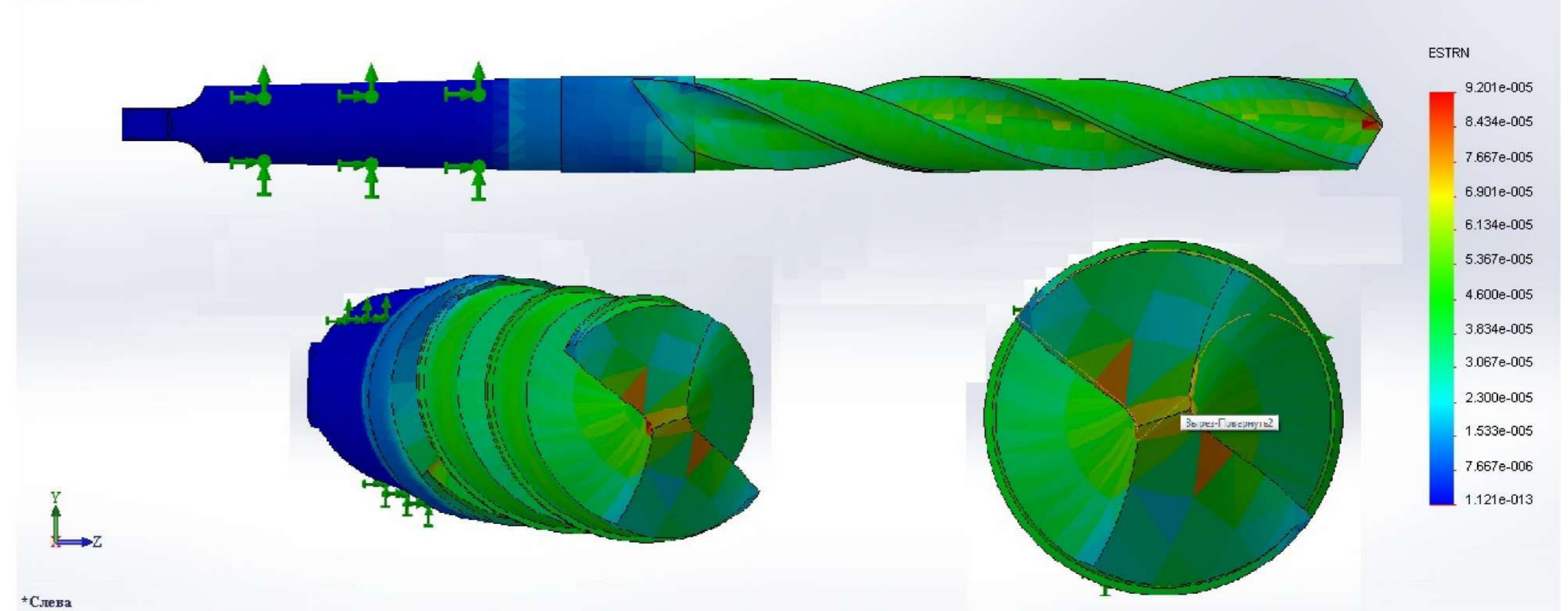
Розподіл переміщень

Имя модели: виты дрill
Имя исследования: Исследование 1
Тип эпюры: Статический узловое напряжение Напряжение1
Шкала деформации: 1



Розподіл напружень за Мізесом

Имя модели: виты дрill
Имя исследования: Исследование 1
Тип эпюры: Статическая деформация Деформация1
Шкала деформации: 1



Розподіл еквівалентних напружень

Имя	Колыч	Лист	№ док.	Подп.	Дата	Статус	Масса	Масштаб
Разработчик								
Переверил								
Т. контроль								
Н. контроль								
Затв.								
Аналіз напружено-деформованого стану свердла						Лист	Листов	
						ІФНТУНГ		
						Формат А1		